

	<b>Reazioni</b> $R_A = R_B = \frac{q \cdot l}{2}$ $H_A = 0$  <b>Taglio</b> $V_A = \frac{q \cdot l}{2}$ $V_B = -\frac{q \cdot l}{2}$ $V_X = q \cdot \left(\frac{l}{2} - x\right)$ $V = 0 \text{ per } x = \frac{l}{2}$  <b>Momenti flettenti</b> $M_A = M_B = 0$ $M_X = \frac{q}{2} \cdot x \cdot (l - x)$ $M_{\frac{l}{2}} = M_{\max} = \frac{q \cdot l^2}{8}$  <b>Rotazioni massime</b> $\alpha = \beta = \frac{q \cdot l^3}{24 \cdot E \cdot I}$  <b>Freccia massima</b> $f_{\frac{l}{2}} = \frac{5}{384} \cdot \frac{q \cdot l^4}{E \cdot I}$
--	---

### Valutazione della sicurezza SLU - Combinazione di calcolo

$$\gamma_{1g} := 1.3$$

coefficiente per i carichi permanenti

$$\gamma_{2g} := 1.5$$

coefficiente per i carichi permanenti non strutturali

$$\gamma_{q1} := 1.5$$

coefficiente per i carichi variabili

-Peso proprio trave

$$G_p := \gamma_a \cdot A_t$$

$$G_p = 9.42 \text{ kg} \cdot \text{m}^{-1}$$

Il carico agente a ml è dato da:

$$Q := \gamma_{1g} \cdot G_p + \gamma_{2g} \cdot G_2 \cdot l_i + \gamma_{q1} \cdot Q_a \cdot l_i$$

$$Q = 218.232 \frac{\text{kg}}{\text{m}}$$

### Verifica flessione monoassiale (retta) p. 4.2.4.1.2 NTC

Il momento risulta essere

$$M_{ed1} := Q \cdot \frac{l^2}{8}$$

$$M_{ed1} = 3.278 \text{ KN} \cdot \text{m}$$

$$M_{ed1} \leq \frac{W_{pl} \cdot f_{yk}}{\gamma_{m0}} = 1$$

**1 - verifica soddisfatta**

0 - verifica non soddisfatta

### Verifica resistenza a taglio - p. 4.2.4.1.2 NTC

Il taglio risulta essere

$$V_{ed1} := Q \cdot \frac{1}{2}$$

$$V_{ed1} = 3.747 \text{ KN}$$

$$V_{crd} := \frac{A_t \cdot f_{yk}}{\gamma_{m0} \sqrt{3}}$$

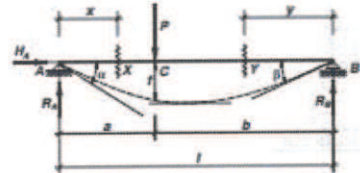
$$V_{crd} = 181.453 \text{ KN}$$

$$V_{ed1} \leq V_{crd} = 1$$

**1 - verifica soddisfatta**

Schema di calcolo

carico puntuale dovuto all'appoggio della rampa 3

 <p>10</p>	<b>Reazioni</b> $R_A = \frac{P \cdot b}{l}$ $R_B = \frac{P \cdot a}{l}$ $H_A = 0$ <b>Taglio</b> $V_A = V_X = \frac{P \cdot b}{l}$ $V_B = V_Y = -\frac{P \cdot a}{l}$ <b>Momenti flettenti</b> $M_A = M_B = 0$ $M_X = \frac{P \cdot b}{l} \cdot x$ $M_Y = \frac{P \cdot a}{l} \cdot y$ $M_t = M_{\max} = \frac{P \cdot a \cdot b}{l}$ <b>Rotazioni massime</b> $\alpha = \frac{P \cdot b}{6 \cdot E \cdot I \cdot l} \cdot (l^2 - b^2)$ $\beta = \frac{P \cdot a}{6 \cdot E \cdot I \cdot l} \cdot (l^2 - a^2)$ <b>Freccia</b> per $a < b$ : $f_{\frac{l}{2}} = \frac{P \cdot b}{48 \cdot E \cdot I} \cdot (3 \cdot l^2 - 4 \cdot b^2)$ per $a > b$ : $f_{\frac{l}{2}} = \frac{P \cdot b}{48 \cdot E \cdot I} \cdot (3 \cdot l^2 - 4 \cdot a^2)$ $f_c = \frac{P \cdot a^2 \cdot b^2}{3 \cdot E \cdot I \cdot l}$ per $x = \sqrt{\frac{l^2 - b^2}{3}}$ : $f_{\max} = \frac{P \cdot b \cdot \sqrt{(l^2 - b^2)^3}}{9 \cdot \sqrt{3} \cdot E \cdot I \cdot l}$
---	---

$$a := 70 \text{ cm}$$

$$b := 1 - a$$

$$b = 2.8 \text{ m}$$

Valutazione della sicurezza SLU - Combinazione di calcolo

$$\gamma_{1g} := 1.3$$

coefficente per i carichi permanenti

$$\gamma_{2g} := 1.5$$

coefficente per i carichi permanenti non strutturali

$$\gamma_{q1} := 1.5$$

coefficente per i carichi variabili

Il carico agente è dato da:

$$Q_p := \gamma_{2g} \cdot V_{ed}$$

$$Q_p = 2.968 \text{ KN}$$

Verifica flessione monoassiale (retta) - p 4.2.4.1.2 NTC

Il momento risulta essere

$$M_{ed2} := Q_p \cdot \frac{a \cdot b}{l}$$

$$M_{ed2} = 1.662 \text{ KN} \cdot \text{m}$$

$$M_{ed2} \leq \frac{W_{pl} \cdot f_{yk}}{\gamma_{m0}} = 1$$

1 - verifica soddisfatta

0 - verifica non soddisfatta

### Verifica resistenza a taglio - p. 4.2.4.1.2 NTC

Il taglio risulta essere

$$V_{ed2} := \max\left(\frac{Q_p \cdot a}{1}, \frac{Q_p \cdot b}{1}\right) \quad V_{ed2} = 2.374 \text{ KN}$$

$$V_{crd} := \frac{A_t \cdot f_y k}{\gamma_m 0 \cdot \sqrt{3}} \quad V_{crd} = 181.453 \text{ KN}$$

$$V_{ed2} \leq V_{crd} = 1$$

1 - verifica soddisfatta

0 - verifica non soddisfatta

Per il principio di sovrapposizione degli effetti avremo, considerando i massimi delle sollecitazione a favore di sicurezza:

### Verifica flessione monoassiale (retta) - p 4.2.4.1.2 NTC

$$M_{ed1} + M_{ed2} \leq \frac{W_{pl} \cdot f_y k}{\gamma_m 0} = 1 \quad \begin{array}{l} \text{1 - verifica soddisfatta} \\ \text{0 - verifica non soddisfatta} \end{array}$$

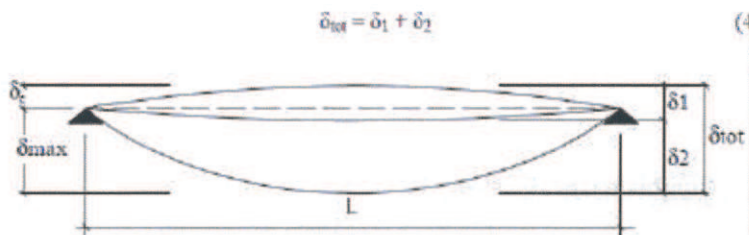
### Verifica resistenza a taglio - p. 4.2.4.1.2 NTC

$$V_{ed1} + V_{ed2} \leq V_{crd} = 1 \quad \begin{array}{l} \text{1 - verifica soddisfatta} \\ \text{0 - verifica non soddisfatta} \end{array}$$

La passerella risulta verificata per il cosciale composto da un solo piatto.

### Valutazione della sicurezza SLE - Combinazione di calcolo

Il valore totale dello spostamento ortogonale all'asse dell'elemento è dato dalla somma della freccia dovuta ai soli carichi permanenti, della freccia dovuta ai soli carichi variabili, dedotta dalla eventuale controfrecchia che nel nostro caso risulta nulla



La freccia teorica valutata un base ai carichi ed alla sezione completamente reagente è pari a

$$\delta_{11} := \frac{5}{384} \cdot \frac{(G_p + G_2 \cdot l_i) \cdot l^4}{E_s \cdot J_y} \quad \delta_{11} = 0.101 \text{ cm} \quad \begin{array}{l} \text{spostamento elastico dovuto ai} \\ \text{soli carichi permanenti} \end{array}$$

$$\delta_{12} := \frac{Q_p \cdot a^2 \cdot b^2}{3 \cdot E_s \cdot J_y \cdot l} \quad \delta_{12} = 0.235 \text{ cm} \quad \begin{array}{l} \text{spostamento elastico dovuto ai} \\ \text{al solo carico puntuale} \end{array}$$

$$\delta_2 := \frac{5}{384} \cdot \frac{(Q_a \cdot l_i) \cdot l^4}{E_s \cdot J_y} \quad \delta_2 = 0.508 \text{ cm} \quad \begin{array}{l} \text{spostamento elastico dovuto ai} \\ \text{soli carichi variabili} \end{array}$$

$$\delta_{tot} := \delta_{11} + \delta_{12} + \delta_2 \quad \delta_{tot} = 0.845 \text{ cm} \quad \begin{array}{l} \text{spostamento totale nello stato} \\ \text{finale} \end{array}$$

$$\delta_2 \leq \frac{1}{500} = 1$$

**1 - verifica soddisfatta**

0 - verifica non soddisfatta

$$\delta_{\text{tot}} \leq \frac{1}{400} = 1$$

**1 - verifica soddisfatta**

0 - verifica non soddisfatta

### Verifica bulloni di collegamento cosciali

- caratteristiche

$$d_{\text{nom}} := 10\text{mm}$$

diametro nominale

$$n_b := 3$$

numero minimo bulloni

$$A_{\text{res}} := 58\text{mm}^2$$

area sezione resistente tirafondi diam. 10mm:

### Verifica a taglio eq 4.2.57 NTC

$$F_{vRd} := \frac{0.5 f_{tb} \cdot n_b \cdot A_{\text{res}}}{\gamma_m 2}$$

$$F_{vRd} = 69.6\text{KN}$$

$$V_{ed} \leq F_{vRd} = 1$$

**1 - verifica soddisfatta**

0 - verifica non soddisfatta

### Piastra - Verifica a rifollamento - p 4.2.8.1.1 NTC

Questa verifica va riferita alla piastra di nodo se il suo spessore è inferiore o uguale allo spessore totale delle piastre di collegamento

geometria connessione

$$d_0 := d_{\text{nom}} + 1\text{mm}$$

diametro nominale del foro di alloggiamento del bullone

$$s_a := 8\text{mm}$$

spessore profilo

$$t_p := 8\text{mm}$$

spessore piastre di connessione

$$t := \min(s_a, t_p)$$

$t = 8\text{ mm}$

$$e_1 := 30\text{mm}$$

distanza foro bordo orizzontale

$$e_2 := 30\text{mm}$$

distanza foro bordo verticale

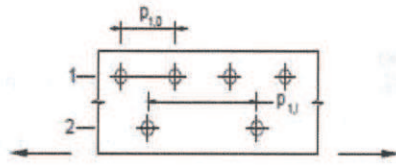
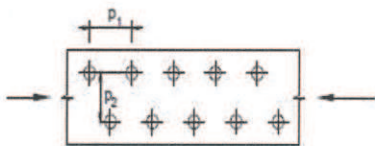
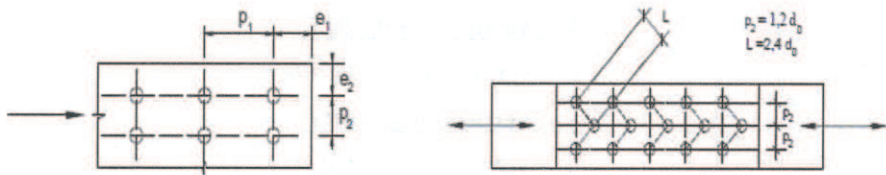
$$p_1 := 80\text{mm}$$

passo foro orizzontale

$$p_2 := 45\text{mm}$$

passo foro verticale

verifiche geometriche **Tabella 4.2. XIII** - per unioni di elementi in acciaio (EN10025)



$$1.2 \cdot d_0 \leq e_1 = 1$$

**1 - verifica soddisfatta**

$$1.2 \cdot d_0 \leq e_2 = 1$$

0 - verifica non soddisfatta

$$2.2 \cdot d_0 \leq p_1 \leq \min(14 \cdot t, 200 \text{mm}) = 1$$

**1 - verifica soddisfatta**

$$2.4 \cdot d_0 \leq p_2 \leq \min(14 \cdot t, 200 \text{mm}) = 1$$

0 - verifica non soddisfatta

- per i bulloni di bordo nella direzione del carico applicato

$$\alpha := \min\left(\frac{e_1}{3 \cdot d_0}, \frac{f_{tb}}{f_{tk}}, 1\right) \quad \alpha = 0.909$$

$$k := \min\left(2.8 \cdot \frac{e_2}{d_0} - 1.7, 2.5\right) \quad k = 2.5$$

la resistenza di calcolo a rifollamento del piatto di unione, viene assunto pari a:

$$F_{brif} := k \cdot \alpha \cdot f_{tk} \cdot d_{nom} \cdot \frac{t}{\gamma_{m2}} \quad F_{brif} = 62.545 \text{ KN}$$

$$\sigma := \frac{V_{ed1} + V_{ed2}}{F_{brif}} \quad \sigma = 0.098$$

$$\sigma \leq 1 = 1$$

**1 - verifica soddisfatta**

0 - verifica non soddisfatta

- per i bulloni interni direzione del carico applicato

$$\alpha := \min\left(\frac{p_1}{3 \cdot d_0} - 0.25, \frac{f_{tb}}{f_{tk}}, 1\right) \quad \alpha = 1$$

$$k := \min\left(1.4 \cdot \frac{p_2}{d_0} - 1.7, 2.5\right) \quad k = 2.5$$

la resistenza di calcolo a rifollamento del piatto di unione, viene assunto pari a:

$$F_{brif} := k \cdot \alpha \cdot f_{tk} \cdot d_{nom} \cdot \frac{t}{\gamma_{m2}} \quad F_{brif} = 68.8 \text{ KN}$$

$$\sigma := \frac{V_{ed1} + V_{ed2}}{F_{brif}} \quad \sigma = 0.089$$

$$\sigma \leq 1 = 1$$

1 - verifica soddisfatta

0 - verifica non soddisfatta

### Verifica balaustre scala

#### • caratteristiche

$$b := 4 \text{ cm}$$

larghezza montante

$$sp := 8 \text{ mm}$$

spessore trave

$$h := 90 \text{ cm}$$

altezza corrimano

$$l_i := 75 \text{ cm}$$

interasse massimo di competenza

$$A_t := b \cdot h$$

$$A_t = 360 \text{ cm}^2$$

$$W_y := sp \cdot \frac{b^2}{6}$$

$$W_y = 2.133 \text{ cm}^3$$

modulo di resistenza

$$W_z := b \cdot \frac{sp^2}{6}$$

$$W_z = 0.427 \text{ cm}^3$$

modulo di resistenza

$$J_y := sp \cdot \frac{b^3}{12}$$

$$J_y = 4.267 \text{ cm}^4$$

momento d'inerzia

$$J_z := b \cdot \frac{sp^3}{12}$$

$$J_z = 0.171 \text{ cm}^4$$

momento d'inerzia

$$W_{pl} := \frac{sp \cdot b^2}{4}$$

$$W_{pl} = 3.2 \text{ cm}^3$$

calcolo modulo di resistenza plastico

### Schema di calcolo

<b>1</b> 	<b>Reazioni</b> $R_B = P$ $H_B = 0$ <b>Taglio</b> $V_B = P$ $V_X = P$ $V_A = P$ <b>Momenti flettenti</b> $M_X = -P \cdot x$ $M_A = 0$ $M_B = M_{\max} = -P \cdot l$ <b>Rotazione massima</b> $\alpha_A = \frac{P \cdot l^2}{2 \cdot E \cdot I}$ <b>Freccia massima</b> $f_A = \frac{P \cdot l^3}{3 \cdot E \cdot I}$
--------------	---

### Valutazione della sicurezza SLU - Combinazione di calcolo

$$\gamma_{1g} := 1.3$$

coefficiente per i carichi permanenti

$$\gamma_{2g} := 1.5$$

coefficiente per i carichi permanenti non strutturali

$$\gamma_{q1} := 1.5$$

coefficiente per i carichi variabili

-Peso proprio trave

$$G_p := \gamma_a \cdot A_t$$

$$G_p = 282.6 \text{ kg} \cdot \text{m}^{-1}$$

### Trave acciaio - Flessione monoassiale (retta) - p 4.2.4.1.2 NTC

il momento flettente di calcolo all'incastro vale:

$$M_{ed} := \gamma_q \cdot H_k \cdot l_i \cdot h$$

$$M_{ed} = 1.012 \text{ KN} \cdot \text{m}$$

$$M_{ed} \leq \frac{2W_{pl} \cdot f_{yk}}{\gamma_{m0}} = 1$$

**1 - verifica soddisfatta**

0 - verifica non soddisfatta

### Verifica resistenza a taglio - p. 4.2.4.1.2 NTC

Il valore di calcolo dell'azione tagliante vale

$$V_{ed} := H_k \cdot l_i$$

$$V_{ed} = 0.75 \text{ KN}$$

$$V_{crd} := \frac{2sp \cdot b \cdot f_{yk}}{\gamma_{m0} \cdot \sqrt{3}}$$

$$V_{crd} = 96.775 \text{ KN}$$

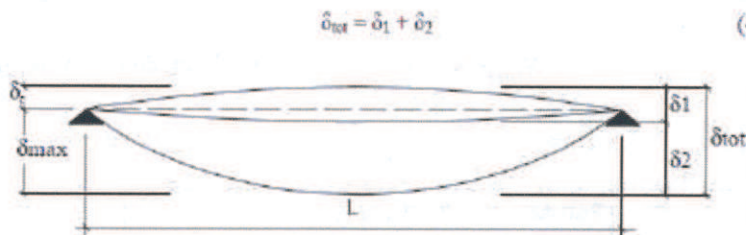
$$V_{ed} \leq V_{crd} = 1$$

**1 - verifica soddisfatta**

0 - verifica non soddisfatta

### Valutazione della sicurezza SLE - Combinazione di calcolo

Il valore totale dello spostamento ortogonale all'asse dell'elemento è dato dalla somma della freccia dovuta ai soli carichi permanenti (trascutibile nel nostro caso), della freccia dovuta ai soli carichi variabili, dedotta dalla eventuale controfrecchia che nel nostro caso risulta nulla



La freccia teorica valutata un base ai carichi ed alla sezione completamente reagente è pari a

$$\delta_2 := \frac{1}{3} \cdot \frac{H_k \cdot l_i \cdot h^3}{E_s \cdot 2J_y}$$

$$\delta_2 = 1.042 \text{ cm}$$

spostamento elastico dovuto ai soli carichi variabili

Tale spostamento, da verificare in fase di esecuzione del campione di prova da sottoporre all'approvazione della DL, risulta ammissibile in considerazione delle prescrizioni limitative effettuate per la salita delle scale.

### Verifica bulloni di collegamento balaustra

#### • caratteristiche

$$d_{nom} := 8 \text{ mm}$$

diametro nominale

$$n_b := 2$$

numero minimo bulloni

$$A_{res} := 38.6 \text{ mm}^2$$

area sezione resistente tirafondi diam. 8mm:

### Verifica a taglio eq 4.2.57 NTC

$$F_{vRd} := \frac{0.5 f_{tb} \cdot n_b \cdot A_{res}}{\gamma_{m2}}$$

$$F_{vRd} = 30.88 \text{ KN}$$

$$V_{ed} \leq F_{vRd} = 1$$

**1 - verifica soddisfatta**

0 - verifica non soddisfatta

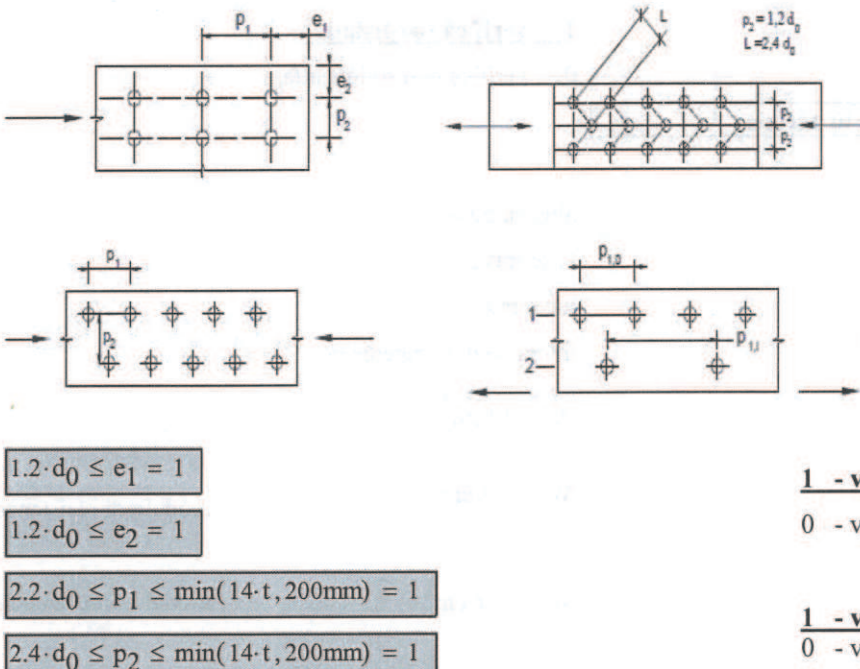
### Piastra - Verifica a rifollamento - p 4.2.8.1.1 NTC

Questa verifica va riferita alla piastra di nodo se il suo spessore è inferiore o uguale allo spessore totale delle piastre di collegamento

geometria connessione

$d_0 := d_{\text{nom}} + 1\text{mm}$	diametro nominale del foro di alloggiamento del bullone
$s_a := 8\text{mm}$	spessore profilo
$t_p := 8\text{mm}$	spessore piastre di connessione
$t := \min(s_a, t_p)$	$t = 8\text{ mm}$
$e_1 := 20\text{mm}$	distanza foro bordo orizzontale
$e_2 := 30\text{mm}$	distanza foro bordo verticale
$p_1 := 20\text{mm}$	passo foro orizzontale
$p_2 := 45\text{mm}$	passo foro verticale

verifiche geometriche Tabella 4.2. XIII - per unioni di elementi in acciaio (EN10025)



- per i bulloni di bordo nella direzione del carico applicato

$$\alpha := \min\left(\frac{e_1}{3 \cdot d_0}, \frac{f_{tb}}{f_{tk}}, 1\right) \quad \alpha = 0.741$$

$$k := \min\left(2.8 \cdot \frac{e_2}{d_0} - 1.7, 2.5\right) \quad k = 2.5$$

la resistenza di calcolo a rifollamento del piatto di unione, viene assunto pari a:

$$F_{\text{brif}} := k \cdot \alpha \cdot f_{\text{tk}} \cdot d_{\text{nom}} \cdot \frac{t}{\gamma_{\text{m2}}} \quad F_{\text{brif}} = 40.77 \text{ KN}$$

$$\sigma := \frac{V_{ed}}{F_{brif}}$$

$$\sigma = 0.018$$

$$\boxed{\sigma \leq 1 = 1}$$

1 - verifica soddisfatta

0 - verifica non soddisfatta

- per i bulloni interni direzione del carico applicato

$$\alpha := \min\left(\frac{p_1}{3 \cdot d_0} - 0.25, \frac{f_{tb}}{f_{tk}}, 1\right) \quad \alpha = 0.491$$

$$k := \min\left(1.4 \cdot \frac{p_2}{d_0} - 1.7, 2.5\right) \quad k = 2.5$$

la resistenza di calcolo a rifollamento del piatto di unione, viene assunto pari a:

$$F_{brif} := k \cdot \alpha \cdot f_{tk} \cdot d_{nom} \cdot \frac{t}{\gamma_{m2}} \quad F_{brif} = 27.01 \text{ KN}$$

$$\sigma := \frac{V_{ed}}{F_{brif}} \quad \sigma = 0.028$$

$$\boxed{\sigma \leq 1 = 1}$$

1 - verifica soddisfatta

0 - verifica non soddisfatta

### Verifica passerella ponte in acciaio

- caratteristiche

$$h := 15 \text{ cm}$$

altezza trave

$$b := 8 \text{ mm}$$

base trave

$$l := 400 \text{ cm}$$

luce trave

$$l_i := 32.5 \text{ cm}$$

interasse di competenza

$$A_t := b \cdot h$$

$$A_t = 12 \text{ cm}^2$$

$$W_y := b \cdot \frac{h^2}{6}$$

$$W_y = 30 \text{ cm}^3$$

modulo di resistenza

$$W_z := h \cdot \frac{b^2}{6}$$

$$W_z = 1.6 \text{ cm}^3$$

modulo di resistenza

$$J_y := b \cdot \frac{h^3}{12}$$

$$J_y = 225 \text{ cm}^4$$

momento d'inerzia

$$J_z := h \cdot \frac{b^3}{12}$$

$$J_z = 0.64 \text{ cm}^4$$

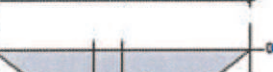
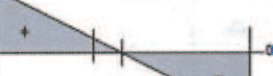
momento d'inerzia

$$W_{pl} := \frac{b \cdot h^2}{4}$$

$$W_{pl} = 45 \text{ cm}^3$$

calcolo modulo di resistenza plastico

### Schema di calcolo

<b>12</b> 	<b>Reazioni</b> $R_A = R_B = \frac{q \cdot l}{2}$ $H_A = 0$
	<b>Taglio</b> $V_A = \frac{q \cdot l}{2}$ $V_B = -\frac{q \cdot l}{2}$ $V_X = q \cdot \left( \frac{l}{2} - x \right)$
	$V = 0 \text{ per } x = \frac{l}{2}$
	<b>Momenti flettenti</b> $M_A = M_B = 0$ $M_X = \frac{q}{2} \cdot x \cdot (l - x)$
	$M_{\frac{l}{2}} = M_{\max} = \frac{q \cdot l^2}{8}$
	<b>Rotazioni massime</b> $\alpha = \beta = \frac{q \cdot l^3}{24 \cdot E \cdot I}$
	<b>Freccia massima</b> $f_{\frac{l}{2}} = \frac{5}{384} \cdot \frac{q \cdot l^4}{E \cdot I}$

## Valutazione della sicurezza SLU - Combinazione di calcolo

$$\gamma_{1g} := 1.3$$

coefficiente per i carichi permanenti

$$\gamma_{2g} := 1.5$$

coefficiente per i carichi permanenti non strutturali

$$\gamma_{q1} := 1.5$$

coefficiente per i carichi variabili

-Peso proprio trave

$$G_p := \gamma_a \cdot A_t$$

$$G_p = 9.42 \text{ kg} \cdot \text{m}^{-1}$$

Il carico agente a ml è dato da:

$$Q := \gamma_{1g} \cdot G_p + \gamma_{2g} \cdot G_2 \cdot l_i + \gamma_{a1} \cdot Q_a \cdot l_i$$

$$Q = 123.822 \frac{\text{kg}}{\text{m}}$$

#### Verifica flessione monoassiale (retta) n. 4.2.4.1.2 NTC

Il momento risulta essere

$$M_{ed1} := Q \cdot \frac{1^2}{8}$$

$$M_{ed1} = 2.429 \text{ KN}\cdot\text{m}$$

$$M_{ed1} \leq \frac{W_{pl} \cdot f_{yk}}{\gamma_{m0}} = 1$$

## 1 - verifica soddisfatta

0 - verifica non soddisfatta

Verifica resistenza a taglio - p. 4.2.4.1.2 NTC

Il taglio risulta essere

$$V_{ed1} := Q \cdot \frac{1}{2}$$

$$V_{ed1} = 2.429 \text{ KN}$$

$$V_{\text{crd}} := \frac{A_t \cdot f_{yk}}{\gamma_{m0} \cdot \sqrt{3}}$$

$$V_{erd} = 181.453 \text{ KN}$$

$$V_{ed1} \leq V_{crd} = 1$$

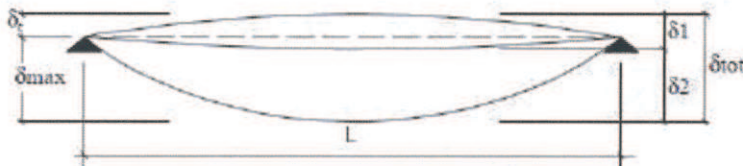
## 1 - verifica soddisfatta

La passerella risulta verificata per il cosciale composto da un solo piatto.

### Valutazione della sicurezza SLE - Combinazione di calcolo

Il valore totale dello spostamento ortogonale all'asse dell'elemento è dato dalla somma della freccia dovuta ai soli carichi permanenti, della freccia dovuta ai soli carichi variabili, dedotta dalla eventuale controfrecchia che nel nostro caso risulta nulla

$$\delta_{\text{tot}} = \delta_1 + \delta_2 \quad (4)$$



La freccia teorica valutata un base ai carichi ed alla sezione completamente reagente è pari a

$$\delta_1 := \frac{5}{384} \cdot \frac{(G_p + G_2 \cdot l_i) \cdot l^4}{E_s \cdot J_y}$$

$\delta_{11} = 0.101 \text{ cm}$  spostamento elastico dovuto ai soli carichi permanenti

$$\delta_2 := \frac{5}{384} \cdot \frac{(Q_a \cdot l_i) \cdot l^4}{E_s \cdot J_y}$$

$\delta_2 = 0.47 \text{ cm}$  spostamento elastico dovuto ai soli carichi variabili

$$\delta_{\text{tot}} := \delta_1 + \delta_2$$

$\delta_{\text{tot}} = 0.594 \text{ cm}$  spostamento totale nello stato finale

$$\delta_2 \leq \frac{1}{500} = 1$$

**1 - verifica soddisfatta**

$$\delta_{\text{tot}} \leq \frac{1}{400} = 1$$

**0 - verifica non soddisfatta**

**1 - verifica soddisfatta**

**0 - verifica non soddisfatta**

### Verifica balaustra passerella

#### • caratteristiche

$$b := 4 \text{ cm}$$

larghezza montante

$$sp := 8 \text{ mm}$$

spessore trave

$$h := 90 \text{ cm}$$

altezza trave

$$l_i := 63 \text{ cm}$$

interasse massimo di competenza

$$A_t := b \cdot h$$

$$A_t = 360 \text{ cm}^2$$

$$W_y := sp \cdot \frac{b^2}{6}$$

$$W_y = 2.133 \text{ cm}^3$$

modulo di resistenza

$$W_z := b \cdot \frac{sp^2}{6}$$

$$W_z = 0.427 \text{ cm}^3$$

modulo di resistenza

$$J_y := sp \cdot \frac{b^3}{12}$$

$$J_y = 4.267 \text{ cm}^4$$

momento d'inerzia

$$J_z := b \cdot \frac{sp^3}{12}$$

$$J_z = 0.171 \text{ cm}^4$$

momento d'inerzia

$$W_{pl} := \frac{sp \cdot b^2}{4}$$

$$W_{pl} = 3.2 \text{ cm}^3$$

calcolo modulo di resistenza plastico

### Schema di calcolo

<b>1</b> 	<b>Reazioni</b> $R_B = P$ $H_B = 0$ <b>Taglio</b> $V_B = P$ $V_A = P$ $V_B = P$ <b>Momenti flettenti</b> $M_X = -P \cdot x$ $M_A = 0$ $M_B = M_{max} = -P \cdot l$ <b>Rotazione massima</b> $\alpha_A = \frac{P \cdot l^2}{2 \cdot E \cdot I}$ <b>Freccia massima</b> $f_A = \frac{P \cdot l^3}{3 \cdot E \cdot I}$
--------------	--

### Valutazione della sicurezza SLU - Combinazione di calcolo

$$\gamma_{1g} := 1.3$$

coefficente per i carichi permanenti

$$\gamma_{2g} := 1.5$$

coefficente per i carichi permanenti non strutturali

$$\gamma_{q1} := 1.5$$

coefficente per i carichi variabili

-Peso proprio trave

$$G_p := \gamma_a \cdot A_t$$

$$G_p = 282.6 \text{ kg} \cdot \text{m}^{-1}$$

### Trave acciaio - Flessione monoassiale (retta) - p. 4.2.4.1.2 NTC

il momento flettente di calcolo all'incastro vale:

$$M_{ed} := \gamma_q \cdot H_k \cdot l_i \cdot h$$

$$M_{ed} = 0.851 \text{ KN} \cdot \text{m}$$

$$M_{ed} \leq \frac{2W_{pl} \cdot f_y k}{\gamma_{m0}} = 1$$

**1 - verifica soddisfatta**

**0 - verifica non soddisfatta**

### Verifica resistenza a taglio - p. 4.2.4.1.2 NTC

Il valore di calcolo dell'azione tagliante vale

$$V_{ed} := H_k \cdot l_i$$

$$V_{ed} = 0.63 \text{ KN}$$

$$V_{crd} := \frac{2sp \cdot b \cdot f_y k}{\gamma_{m0} \sqrt{3}}$$

$$V_{crd} = 96.775 \text{ KN}$$

$$V_{ed} \leq V_{crd} = 1$$

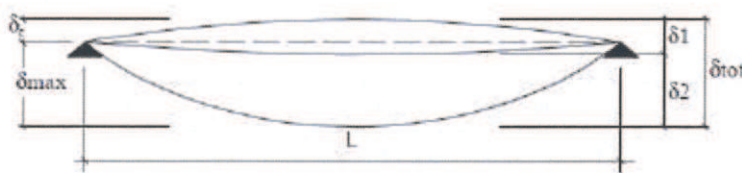
**1 - verifica soddisfatta**

**0 - verifica non soddisfatta**

### Valutazione della sicurezza SLE - Combinazione di calcolo

Il valore totale dello spostamento ortogonale all'asse dell'elemento è dato dalla somma della freccia dovuta ai soli carichi permanenti (trascurabile nel nostro caso), della freccia dovuta ai soli carichi variabili, dedotta dalla eventuale controfreccia che nel nostro caso risulta nulla

$$\delta_{\text{tot}} = \delta_1 + \delta_2 \quad (4)$$



La freccia teorica valutata un base ai carichi ed alla sezione completamente reagente è pari a

$$\delta_2 := \frac{1}{3} \cdot \frac{H_k \cdot l_i \cdot h^3}{E_s \cdot 2J_y}$$

$\delta_2 = 0.875 \text{ cm}$  spostamento elastico dovuto ai soli carichi variabili

Tale spostamento, risulta ammisible in considerazioni delle prescrizioni limitative effettuate per la visita

#### Verifica balaustra camminamento

##### • caratteristiche

$$b := 4 \text{ cm}$$

larghezza montante

$$sp := 8 \text{ mm}$$

spessore trave

$$h := 100 \text{ cm}$$

altezza trave

$$l_i := 80 \text{ cm}$$

interasse massimo di competenza

$$A_t := b \cdot h$$

$$A_t = 400 \text{ cm}^2$$

$$W_y := sp \cdot \frac{b^2}{6}$$

$$W_y = 2.133 \text{ cm}^3$$

modulo di resistenza

$$W_z := b \cdot \frac{sp^2}{6}$$

$$W_z = 0.427 \text{ cm}^3$$

modulo di resistenza

$$J_y := sp \cdot \frac{b^3}{12}$$

$$J_y = 4.267 \text{ cm}^4$$

momento d'inerzia

$$J_z := b \cdot \frac{sp^3}{12}$$

$$J_z = 0.171 \text{ cm}^4$$

momento d'inerzia

$$W_{pl} := \frac{sp \cdot b^2}{4}$$

$$W_{pl} = 3.2 \text{ cm}^3$$

calcolo modulo di resistenza plastico

#### Schema di calcolo

<b>1</b> 	<b>Reazioni</b> $R_B = P$ $H_B = 0$ <b>Taglio</b> $V_B = P$ $V_X = P$ $V_A = P$ <b>Momenti flettenti</b> $M_X = -P \cdot x$ $M_A = 0$ $M_B = M_{\max} = -P \cdot l$ <b>Rotazione massima</b> $\alpha_A = \frac{P \cdot l^2}{2 \cdot E \cdot I}$ <b>Freccia massima</b> $f_A = \frac{P \cdot l^3}{3 \cdot E \cdot I}$
--------------	---

### Valutazione della sicurezza SLU - Combinazione di calcolo

$$\gamma_{1g} := 1.3$$

coefficiente per i carichi permanenti

$$\gamma_{2g} := 1.5$$

coefficiente per i carichi permanenti non strutturali

$$\gamma_{q1} := 1.5$$

coefficiente per i carichi variabili

-Peso proprio trave

$$G_p := \gamma_a \cdot A_t$$

$$G_p = 314 \text{ kg} \cdot \text{m}^{-1}$$

### Trave acciaio - Flessione monoassiale (retta) - p 4.2.4.1.2 NTC

il momento flettente di calcolo all'incastro vale:

$$M_{ed} := \gamma_q \cdot H_k \cdot l_i \cdot h$$

$$M_{ed} = 1.2 \text{ KN} \cdot \text{m}$$

$$M_{ed} \leq \frac{2W_{pl} \cdot f_{yk}}{\gamma_{m0}} = 1$$

**1 - verifica soddisfatta**

0 - verifica non soddisfatta

### Verifica resistenza a taglio - p. 4.2.4.1.2 NTC

Il valore di calcolo dell'azione tagliante vale

$$V_{ed} := H_k \cdot l_i$$

$$V_{ed} = 0.8 \text{ KN}$$

$$V_{crd} := \frac{2sp \cdot b \cdot f_{yk}}{\gamma_{m0} \cdot \sqrt{3}}$$

$$V_{crd} = 96.775 \text{ KN}$$

$$V_{ed} \leq V_{crd} = 1$$

**1 - verifica soddisfatta**

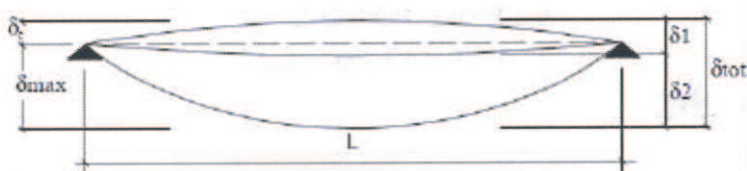
0 - verifica non soddisfatta

### Valutazione della sicurezza SLE - Combinazione di calcolo

Il valore totale dello spostamento ortogonale all'asse dell'elemento è dato dalla somma della freccia dovuta ai soli carichi permanenti (trascurabile nel nostro caso), della freccia dovuta ai soli carichi variabili, dedotta dalla eventuale controfrecchia che nel nostro caso risulta nulla

$$\delta_{tot} = \delta_1 + \delta_2$$

(4)



La freccia teorica valutata un base ai carichi ed alla sezione completamente reagente è pari a

$$\delta_2 := \frac{1}{3} \cdot \frac{H_k \cdot l_i \cdot h^3}{E_s \cdot 2J_y}$$

$$\delta_2 = 1.524 \text{ cm}$$

spostamento elastico dovuto ai soli carichi variabili

Tale spostamento, da verificare a seguito della prevista prova di carico e da sottoporre all'approvazione della DL, risulta ammissibile in considerazione delle prescrizioni limitative effettuate per la visita del camminamento e dell'effettiva funzione della ringhiera che risulta essere una delimitazione dell'area di camminamento affidando la funzione di protezione alla ricostruzione della muratura esterna.

### Verifica tirafondi di collegamento balaustra camminamento

- caratteristiche

$$d_{nom} := 14 \text{ mm}$$

diametro nominale tirafondi

$$A_{res} := 115 \text{ mm}^2$$

area sezione resistente tirafondi

$$n_b := 4$$

numero minimo bulloni

$$n_{bfila} := 2$$

numero bulloni per fila

$$d := 130 \text{ mm}$$

distanza tra i tirafondi in direzione x

#### Verifica del tirafondo più sollecitato (utilizzare barre min in classe 8.8)

$$f_{yb} := 649 \frac{\text{N}}{\text{mm}^2}$$

$$f_{tb} := 800 \frac{\text{N}}{\text{mm}^2}$$

Trazione su ogni tirafondo della fila iesima

$$N_b := \frac{M_{ed}}{n_{bfila} \cdot d}$$

$$N_b = 4.615 \text{ KN}$$

Trazione su ogni tirafondo della fila iesima

$$V_b := \frac{V_{ed}}{n_b}$$

$$V_b = 0.2 \text{ KN}$$

#### Verifica a taglio eq 4.2.57 NTC

$$F_{vRd} := \frac{0.6 f_{tb} \cdot A_{res}}{\gamma_{m2}}$$

$$F_{vRd} = 44.16 \text{ KN}$$

$$V_{ed} \leq F_{vRd} = 1$$

**1 - verifica soddisfatta**

0 - verifica non soddisfatta

#### Verifica a trazione eq 4.2.62 NTC

$$F_{tRd} := \frac{0.9 f_{tb} \cdot A_{res}}{\gamma_{m2}}$$

$$F_{tRd} = 66.24 \text{ KN}$$

$$N_b \leq F_{tRd} = 1$$

**1 - verifica soddisfatta**

0 - verifica non soddisfatta

#### Verifica azioni combinate eq 4.2.65 NTC

$$\frac{N_b}{1.4 \cdot F_{tRd}} + \frac{V_b}{F_{vRd}} = 0.054$$

$$\frac{N_b}{1.4 \cdot F_{tRd}} + \frac{V_b}{F_{vRd}} \leq 1 = 1$$

**1 - verifica soddisfatta**

0 - verifica non soddisfatta

#### Verifica appoggio muratura

$$b := 15 \text{ cm}$$

larghezza piastra base

$$l := 20 \text{ cm}$$

lunghezza appoggio

$$d_1 := 3 \text{ cm}$$

distanza dal lembo compresso dei tirafondi

In via semplificativa si suppone che la muratura reagisca secondo una striscia larga 1/4 della lunghezza della piastra di base e che la pressione sulla muratura inferiore sia costante

$$\sigma_r := \frac{4 \cdot M_{ed}}{d \cdot b \cdot l}$$

$$\sigma_r = 1.231 \frac{\text{N}}{\text{mm}^2}$$

$$\sigma_r \leq f_{dm} = 1$$

**1 - verifica soddisfatta**

**0 - verifica non soddisfatta**

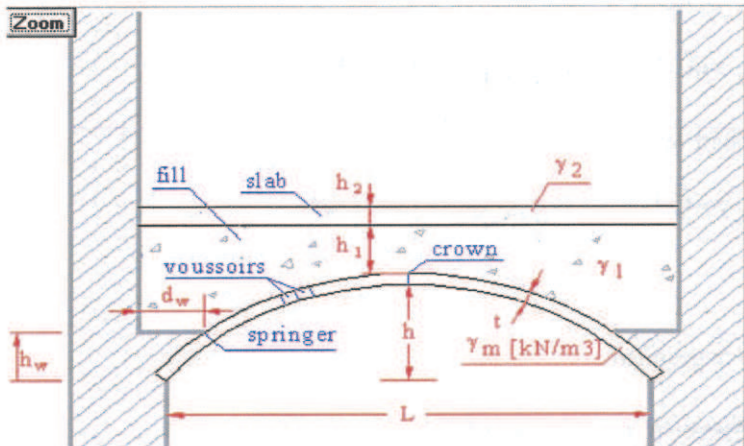
### Verifica estrazione muratura a trazione

Vista la variabilità delle caratteristiche della muratura sottostante, alla luce delle considerazioni sopracitate, si prescrive per tali agganci una prova di estrazione da eseguire con estrattore idraulico installato su di un supporto metallico di contrasto in base all'appendice A della norma UNI EN 795-2012 e norma UNI11560:2014 punto 9.2.1 che prevede per gli ancoraggi della linea vita, che gli stessi vengano valutati tramite prove di carico che restituiscano una forza di almeno 5KN per ogni singolo ancoraggio, per verificare la corretta connessione tra ancorante e materiale di supporto. Qualora le prove di estrazione non fossero verificate, in alternativa agli ancoraggi con barre filettate, l'ancoraggio potrà essere realizzato tramite carotaggio, inserimento di un paletto centrale direttamente saldato alla piastra di base e riempimento con malta di calce.

### VALUTAZIONE di VULNERABILITA' SISMICA - LV2 (Meccanismi Locali)

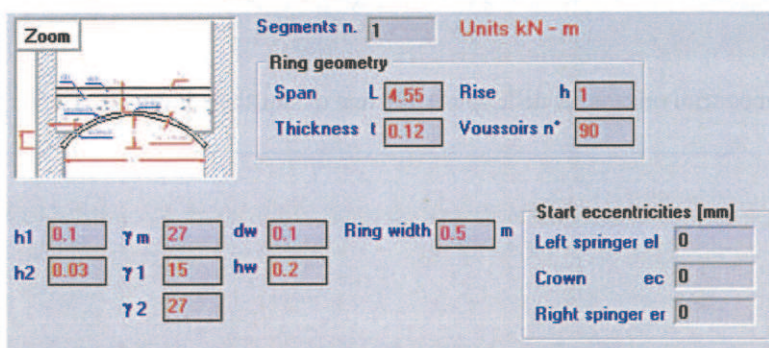
#### Stato Attuale - carichi in situazione sismica

Per considerare l'incremento di sollecitazione lungo gli archi principali dovuto alla presenza delle unghie, sono stati amplificati i valori dei pesi specifici di un coefficiente pari al rapporto tra la larghezza di influenza dei carichi sull'arco e la larghezza dell'arco stesso.

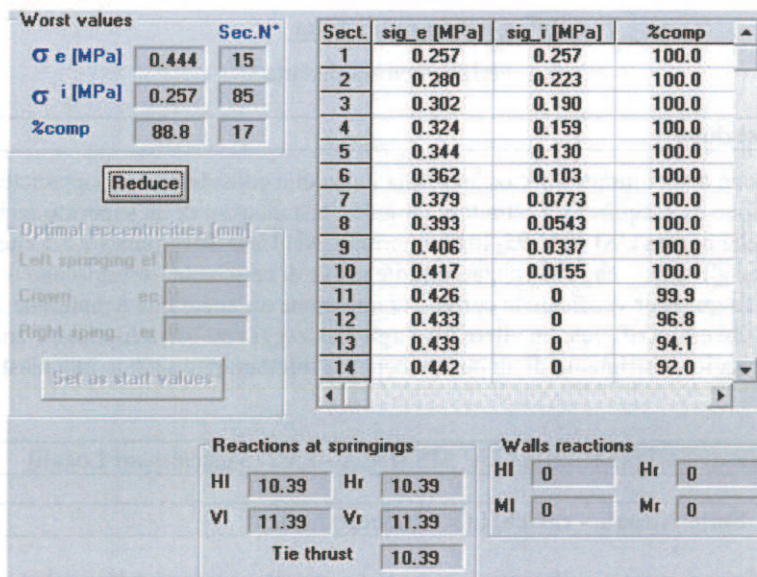


#### • volta primo piano

la volta presenta le seguenti geometrie



in assenza di carichi variabili le componenti orizzontali delle spinte alle reni di sinistra e destra (Hl, Hr, Vl, Vr) valgono



$$P_{h1sisa} := 10.39 \text{ KN}$$

$$P_{v1sisa} := 11.39 \text{ KN}$$

$$\alpha := 50 \text{ deg}$$

angolo di inclinazione arco diagonale

la spinta totale agente sul paramento Est-Ovest è

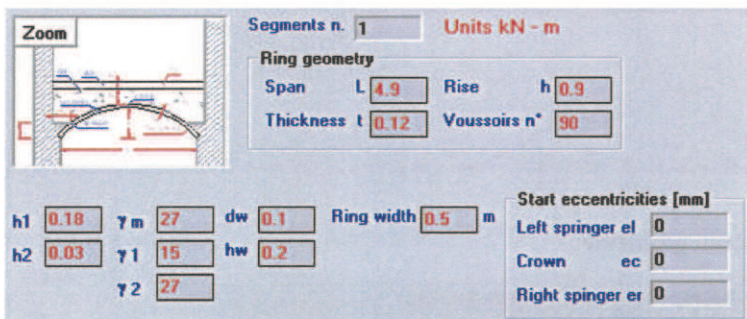
$$P_{h1sisaEO} := 2 \cdot P_{h1sisa} \cdot \sin(\alpha) \quad P_{h1sisaEO} = 15.918 \text{ KN}$$

la spinta totale agente sul paramento Nord-Sud è

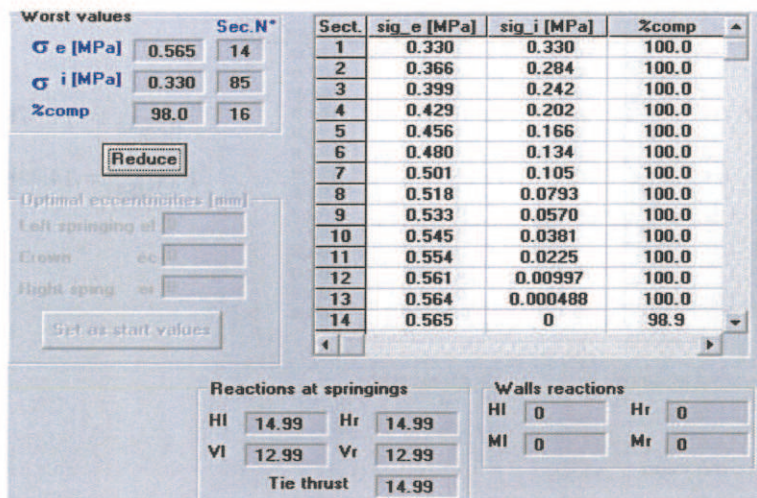
$$P_{h1sisaNS} := 2 \cdot P_{h1sisa} \cdot \cos(\alpha) \quad P_{h1sisaNS} = 13.357 \text{ KN}$$

#### • volta secondo piano

la volta presenta le seguenti geometrie



in assenza di carichi variabili le componenti orizzontali delle spinte alle reni di sinistra e destra (H1, Hr, V1, Vr) valgono



$$\alpha := 45\text{deg}$$

angolo di inclinazione arco diagonale

la spinta totale agente sul paramento Est-Ovest è

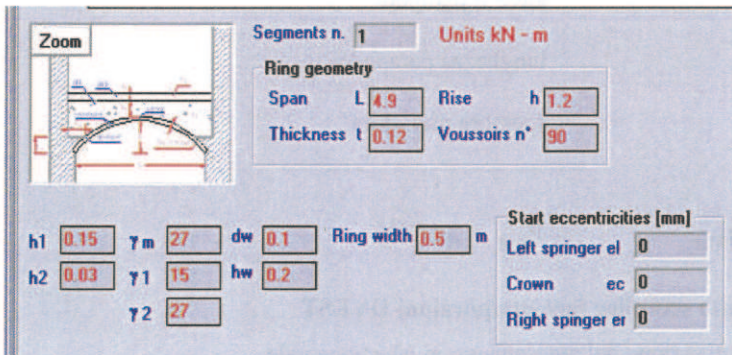
$$P_{h2sisaEO} := 2 \cdot P_{h2sisa} \cdot \sin(\alpha) \quad P_{h2sisaEO} = 21.199 \text{ KN}$$

la spinta totale agente sul paramento Nord-Sud è

$$P_{h2sisaNS} := 2 \cdot P_{h2sisa} \cdot \cos(\alpha) \quad P_{h2sisaNS} = 21.199 \text{ KN}$$

#### • volta terzo piano - lato Nord-Sud-Est-Ovest

la volta presenta le seguenti geometrie



in assenza di carichi variabili le componenti orizzontali delle spinte alle reni di sinistra e destra (Hl, Hr, Vl, Vr) valgono

Worst values		Sec.N°	
$\sigma_e$ [MPa]	0.477	70	
$\sigma_i$ [MPa]	0.308	1	
%comp	93.4	67	
<b>Reduce</b>			
Optimal eccentricities (mm)			
Left springing $el$	0		
Crown $ec$	0		
Right spring $er$	0		
<b>Set as start values</b>			
Reactions at springings		Walls reactions	
HI	11.57	Hr	11.57
VI	14.42	Vr	14.42
Tie thrust		0	

$$\alpha := 45\text{deg}$$

angolo di inclinazione arco diagonale

la spinta totale agente sul paramento Est-Ovest è

$$P_{h3sisaEO} := 2 \cdot P_{h3sisa} \cdot \sin(\alpha) \quad P_{h3sisaEO} = 16.362 \text{ KN}$$

la spinta totale agente sul paramento Nord-Sud è

$$P_{h3sisaNS} := 2 \cdot P_{h3sisa} \cdot \cos(\alpha) \quad P_{h3sisaNS} = 16.362 \text{ KN}$$

#### • merlatura

$$\gamma_{me} := 1.8 \text{ KN} \cdot \text{m}^{-3} \quad \text{peso muratura}$$

$$h_{me} := 1.5 \text{ m} \quad \text{altezza parapetto}$$

$$l_{me} := 7 \text{ m} \quad \text{lunghezza parapetto}$$

$$sp_{me} := 30 \text{ cm} \quad \text{spessore merlatura}$$

carico merlatura

$$P_{me} := \gamma_{me} \cdot h_{me} \cdot l_{me} \cdot sp_{me} \quad P_{me} = 5.67 \text{ KN}$$

#### Analisi meccanico M1 - ribaltamento semplice facciata/porzioni OVEST

l'accellerazione spettrale minima di attivazione del meccanismo in questione vale

$$\alpha^{\circ} M1aovest := 0.302 \frac{\text{m}}{\text{s}^2}$$

a cui corrisponde un' accellerazione al suolo pari a

$$\alpha_g M1aovest := 0.027$$

$$\alpha_g M1aovest \geq a_{gslv} = 0$$

1 - adeguamento raggiunto  
0 - adeguamento non raggiunto

La verifica non è soddisfatta ed il meccanismo è in grado di attivarsi per l'azione sismica caratterizzata dalla ag-SLV calcolata

#### Analisi meccanico M1 - ribaltamento semplice facciata/porzioni SUD

l'accellerazione spettrale minima di attivazione del meccanismo in questione vale

$$\alpha^o M1asud := 0.346 \frac{m}{s^2}$$

a cui corrisponde un' accellerazione al suolo pari a

$$\alpha_{gM1asud} := 0.031$$

$$\alpha_{gM1asud} \geq a_{gslv} = 0$$

1 - adeguamento raggiunto

0 - adeguamento non raggiunto

La verifica non è soddisfatta ed il meccanismo è in grado di attivarsi per l'azione sismica caratterizzata dalla ag-SLV calcolata

#### Analisi meccanismo M1 - ribaltamento semplice facciata/porzioni NORD

l'accellerazione spettrale minima di attivazione del meccanismo in questione vale

$$\alpha^o M1anord := 0.760 \frac{m}{s^2}$$

a cui corrisponde un' accellerazione al suolo pari a

$$\alpha_{gM1anord} := 0.04$$

$$\alpha_{gM1anord} \geq a_{gslv} = 0$$

1 - adeguamento raggiunto

0 - adeguamento non raggiunto

La verifica non è soddisfatta ed il meccanismo è in grado di attivarsi per l'azione sismica caratterizzata dalla ag-SLV calcolata

#### Analisi meccanismo M1 - ribaltamento semplice facciata/porzioni EST

l'accellerazione spettrale minima di attivazione del meccanismo in questione vale

$$\alpha^o M1aest := 0.0667 \frac{m}{s^2}$$

a cui corrisponde un' accellerazione al suolo pari a

$$\alpha_{gM1aest} := 0.035$$

$$\alpha_{gM1aest} \geq a_{gslv} = 0$$

1 - adeguamento raggiunto

0 - adeguamento non raggiunto

La verifica non è soddisfatta ed il meccanismo è in grado di attivarsi per l'azione sismica caratterizzata dalla ag-SLV calcolata

#### Analisi meccanismo M2 - ribaltamento cantonale NORD-OVEST

l'accellerazione spettrale minima di attivazione del meccanismo in questione vale

$$\alpha^o M2anordovest := 1.415 \frac{m}{s^2}$$

a cui corrisponde un' accellerazione al suolo pari a

$$\alpha_{gM2anordovest} := 0.077$$

$$\alpha_{gM2anordovest} \geq a_{gslv} = 0$$

1 - adeguamento raggiunto

0 - adeguamento non raggiunto

La verifica non è soddisfatta ed il meccanismo è in grado di attivarsi per l'azione sismica caratterizzata dalla ag-SLV calcolata

#### Analisi meccanismo M2 - ribaltamento cantonale NORD-EST

l'accellerazione spettrale minima di attivazione del meccanismo in questione vale

$$\alpha^{\circ} M2anordest := 1.989 \frac{m}{s^2}$$

a cui corrisponde un'accellerazione al suolo pari a

$$\alpha_g M2anordest := 0.108$$

$$\alpha_g M2anordest \geq a_{gslv} = 0$$

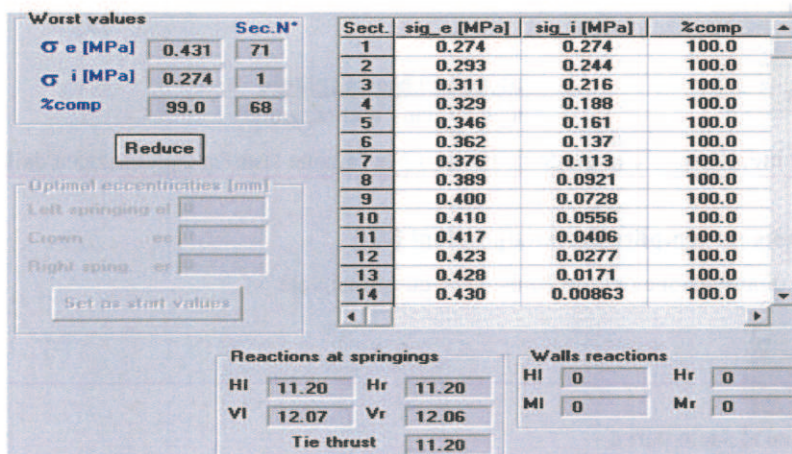
**1 - adeguamento raggiunto**  
0 - adeguamento non raggiunto

La verifica non è soddisfatta ed il meccanismo è in grado di attivarsi per l'azione sismica caratterizzata dalla ag-SLV calcolata

### Stato Modificato - carichi in situazione sismica

#### • volta primo piano

in presenza del carico variabile (2KN/mq) le componenti orizzontali delle spinte alle reni di sinistra e destra (Hl, Hr, Vl, Vr) risultano:



$$\alpha := 50\text{deg}$$

angolo di inclinazione arco diagonale

la spinta totale agente sul paramento Est-Ovest è

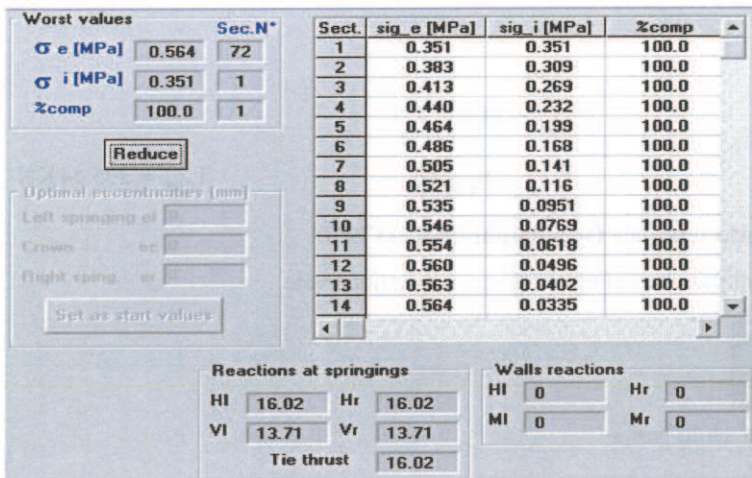
$$P_{h1sismEO} := 2 \cdot P_{h1sism} \cdot \sin(\alpha) \quad P_{h1sismEO} = 17.159 \text{ KN}$$

la spinta totale agente sul paramento Nord-Sud è

$$P_{h1sismNS} := 2 \cdot P_{h1sism} \cdot \cos(\alpha) \quad P_{h1sismNS} = 14.398 \text{ KN}$$

#### • volta secondo piano

in presenza del carico variabile (2KN/mq) le componenti orizzontali delle spinte alle reni di sinistra e destra (Hl, Hr, Vl, Vr) risultano:



$$\alpha := 45\text{deg}$$

angolo di inclinazione arco diagonale

la spinta totale agente sul paramento Est-Ovest è

$$P_{h2sismEO} := 2 \cdot P_{h2sism} \cdot \sin(\alpha) \quad P_{h2sismEO} = 22.656 \text{ KN}$$

la spinta totale agente sul paramento Nord-Sud è

$$P_{h2sismNS} := 2 \cdot P_{h2sism} \cdot \cos(\alpha) \quad P_{h2sismNS} = 22.656 \text{ KN}$$

#### • solaio intermedio

area influenza solaio intermedio

$$A_s := 2.5 \text{ m}^2$$

carico solaio

$$P_s := (G_s \cdot A_s + \psi_{2j} \cdot Q_a \cdot A_s)$$

$$P_s = 3.953 \text{ KN}$$

#### • volta terzo piano

la spinta totale agente sul paramento Est-Ovest è

$$P_{h3sismEO} := P_{h3sisaEO} \quad P_{h3sismEO} = 16.362 \text{ KN}$$

la spinta totale agente sul paramento Nord-Sud è

$$P_{h3sismNS} := P_{h3sisaNS} \quad P_{h3sismNS} = 16.362 \text{ KN}$$

#### • merlatura

$$\gamma_{me} := 1.8 \text{ KN} \cdot \text{m}^{-3}$$

peso muratura

$$h_{me} := 1.5 \text{ m}$$

altezza parapetto

$$l_{me} := 7 \text{ m}$$

lunghezza parapetto

$$sp_{me} := 30 \text{ cm}$$

spessore merlatura

carico merlatura

$$P_{me} := \gamma_{me} \cdot h_{me} \cdot l_{me} \cdot sp_{me}$$

$$P_{me} = 5.67 \text{ KN}$$

$$P_{h2sism} := 16.02 \text{ KN}$$

$$P_{v2sism} := 13.71 \text{ KN}$$

- **tiro catene**

$$t_{cat} := 12\text{Tonn}$$

$$t_{cat} = 117.72 \text{ KN}$$

$$n_{cat} := 2$$

$$T_{cat} := n_{cat} \cdot t_{cat}$$

$$T_{cat} = 235.44 \text{ KN}$$

### Analisi meccanismo M1 - ribaltamento semplice facciata/porzioni OVEST

l'accellerazione spettrale minima di attivazione del meccanismo in questione vale

$$\alpha^o M1movest := 1.836 \frac{\text{m}}{\text{s}^2}$$

a cui corrisponde un' accellerazione al suolo pari a

$$\alpha_g M1movest := 0.166$$

$$\alpha_g M1movest \geq a_{gslv} = 1$$

1 - adeguamento raggiunto  
0 - adeguamento non raggiunto

La verifica è soddisfatta ed il meccanismo è in grado di attivarsi solo per ag-SLV maggiori della PGA di riferimento

### Analisi meccanismo M1 - ribaltamento semplice facciata/porzioni SUD

l'accellerazione spettrale minima di attivazione del meccanismo in questione vale

$$\alpha^o M1msud := 1.863 \frac{\text{m}}{\text{s}^2}$$

a cui corrisponde un' accellerazione al suolo pari a

$$\alpha_g M1msud := 0.169$$

$$\alpha_g M1msud \geq a_{gslv} = 1$$

1 - adeguamento raggiunto  
0 - adeguamento non raggiunto

La verifica è soddisfatta ed il meccanismo è in grado di attivarsi solo per ag-SLV maggiori della PGA di riferimento

### Analisi meccanismo M1 - ribaltamento semplice facciata/porzioni NORD

l'accellerazione spettrale minima di attivazione del meccanismo in questione vale

$$\alpha^o M1mnord := 3.328 \frac{\text{m}}{\text{s}^2}$$

a cui corrisponde un' accellerazione al suolo pari a

$$\alpha_g M1mnord := 0.176$$

$$\alpha_g M1mnord \geq a_{gslv} = 1$$

1 - adeguamento raggiunto  
0 - adeguamento non raggiunto

La verifica è soddisfatta ed il meccanismo è in grado di attivarsi solo per ag-SLV maggiori della PGA di riferimento

### Analisi meccanismo M1 - ribaltamento semplice facciata/porzioni EST

l'accellerazione spettrale minima di attivazione del meccanismo in questione vale

$$\alpha^o M1mest := 3.443 \frac{\text{m}}{\text{s}^2}$$

a cui corrisponde un' accellerazione al suolo pari a

$$\alpha_{gM1mest} := 0.182$$

$$\alpha_{gM1mest} \geq a_{gslv} = 1$$

**1 - adeguamento raggiunto**  
0 - adeguamento non raggiunto

La verifica è soddisfatta ed il meccanismo è in grado di attivarsi solo per ag-SLV maggiori della PGA di riferimento

#### Analisi meccanismo M2 - ribaltamento cantonale NORD-OVEST

L'accellerazione spettrale minima di attivazione del meccanismo in questione vale

$$\alpha^o M2mnordovest := 2.389 \frac{m}{s^2}$$

a cui corrisponde un' accellerazione al suolo pari a

$$\alpha_{gM2mnordovest} := 0.130$$

$$\alpha_{gM2mnordovest} \geq a_{gslv} = 1$$

**1 - adeguamento raggiunto**  
0 - adeguamento non raggiunto

La verifica è soddisfatta ed il meccanismo è in grado di attivarsi solo per ag-SLV maggiori della PGA di riferimento

#### Analisi meccanismo M2 - ribaltamento cantonale NORD-EST

L'accellerazione spettrale minima di attivazione del meccanismo in questione vale

$$\alpha^o M2mnordest := 2.971 \frac{m}{s^2}$$

a cui corrisponde un' accellerazione al suolo pari a

$$\alpha_{gM2mnordest} := 0.162$$

$$\alpha_{gM2mnordest} \geq a_{gslv} = 1$$

**1 - adeguamento raggiunto**  
0 - adeguamento non raggiunto

La verifica è soddisfatta ed il meccanismo è in grado di attivarsi solo per ag-SLV maggiori della PGA di riferimento

### CONCLUSIONI

Di seguito si riportano i risultati delle analisi per i cinematismi considerati prima e dopo gli interventi. Si evince come dopo l'intervento, l'accellerazione spettrale di attivazione dei cinematismi per la torre, sia aumentata dallo stato attuale a quello di progetto in conseguenza degli interventi già realizzati quali tesatura delle catene e del nuovo solaio in legno che contribuisce alla stabilità del paramento.

L'intervento di consolidamento proposto ed in parte già realizzato, ha permesso di migliorare la risposta sismica del manufatto, in virtù di scelte progettuali in grado di tendere a quel miglioramento scatolare che rappresenta il requisito strutturale richiesto da ogni codice normativo.

#### Analisi meccanismo M1 - ribaltamento semplice facciata/porzioni OVEST

$$\alpha^o M1aovest \leq \alpha^o M1movest = 1$$

**1 - verifica soddisfatta**

0 - verifica non soddisfatta

#### Analisi meccanismo M1 - ribaltamento semplice facciata/porzioni SUD

$$\alpha^o M1asud \leq \alpha^o M1msud = 1$$

**1 - verifica soddisfatta**

0 - verifica non soddisfatta

#### Analisi meccanismo M1 - ribaltamento semplice facciata/porzioni NORD

$$\alpha^o M1anord \leq \alpha^o M1mnord = 1$$

**1 - verifica soddisfatta**

0 - verifica non soddisfatta

#### Analisi meccanismo M1 - ribaltamento semplice facciata/porzioni EST

$$\alpha^{\circ}_{M1aest} \leq \alpha^{\circ}_{M1mest} = 1$$

1 - verifica soddisfatta

0 - verifica non soddisfatta

#### Analisi meccanismo M2 - ribaltamento cantonale NORD-OVEST

$$\alpha^{\circ}_{M2anordovest} \leq \alpha^{\circ}_{M2mnordovest} = 1$$

1 - verifica soddisfatta

0 - verifica non soddisfatta

#### Analisi meccanismo M2 - ribaltamento cantonale NORD-EST

$$\alpha^{\circ}_{M2anordest} \leq \alpha^{\circ}_{M2mnordest} = 1$$

1 - verifica soddisfatta

0 - verifica non soddisfatta

**TABELLA RIEPILOGATIVA - MECCANISMI LOCALI**

Tipologia Cinematismo	0.119	Attivazione ante intervento			Attivazione post intervento			
		<input checked="" type="checkbox"/>	a* (m/s <sup>2</sup> )	ag (slv)	f.aslv	<input checked="" type="checkbox"/>	a* (m/s <sup>2</sup> )	ag (slv)
Ribaltamento semplice facciata Ovest	SI	0.302	0.027	0.227	NO	1.836	0.166	1.39
Ribaltamento semplice facciata Sud	SI	0.346	0.031	0.261	NO	1.863	0.169	1.42
Ribaltamento semplice facciata Nord	SI	0.76	0.04	0.336	NO	3.328	0.176	1.48
Ribaltamento semplice facciata Est	SI	0.66	0.035	0.294	NO	3.443	0.182	1.53
Ribaltamento cantonale Nord-Ovest	SI	1.415	0.077	0.647	NO	2.389	0.13	1.09
Ribaltamento cantonale Nord-Est	SI	1.989	0.108	0.908	NO	2.971	0.162	1.36

**TORRE DEL SOCCORSO - STATO ATTUALE - VALUTAZIONE SICUREZZA**

#### Valutazione Fattore di accellerazione

Dal minimo dei precedenti si ottiene l'accellerazione di picco che la struttura riesce a sopportare tramite le equazioni eq C8A.4.9 e C8A.4.10 della CIRC. n°617 2/2/09

$$a_g := \min(\alpha_{gM1aovest}, \alpha_{gM1asud}, \alpha_{gM1anord}, \alpha_{gM1aest}, \alpha_{gM2anordovest}, \alpha_{gM2anordest})$$

$$a_g = 0.027$$

L'indicatore di rischio in termini di accellerazione si ottiene confrontando l'accellerazione che riesce a sopportare la struttura e quella di riferimento

$$f_{aslv} := \frac{a_g}{a_{gslv}}$$

$$f_{aslv} = 0.227$$

#### Valutazione Vita Nominale

### Valori dei parametri $a_g$ , $F_o$ , $T_C$ per i periodi di ritorno $T_R$ di riferimento

$T_R$ [anni]	$a_g$ [g]	$F_o$ [-]	$T_C$ [s]
30	0.041	2.564	0.234
50	0.051	2.548	0.250
72	0.059	2.560	0.259
101	0.068	2.546	0.264
140	0.076	2.548	0.268
201	0.087	2.544	0.273
475	0.119	2.518	0.282
975	0.156	2.439	0.286
2475	0.208	2.427	0.294

dalla tabella si evince che il tempo di ritorno della nostra struttura per la a.g(SLV) di riferimento

$$a_g = 0.027$$

risulta compreso tra:

$$a_{gtr1} := 0.041$$

$$a_{gtr2} := 0.041$$

$$T_{r1} := 30$$

$$T_{r2} := 30$$

$$\alpha := \left( \log(a_g) - \log(a_{gtr1}) \right) \cdot \frac{\log\left(\frac{T_{r2}}{T_{r1}}\right)}{\log\left(\frac{a_{gtr2}}{a_{gtr1}}\right)} \quad \alpha = 0$$

$$T_{slv} := T_{r1} \cdot 10^\alpha$$

$$T_{slv} = 30$$

la valutazione del tempo di ritorno e della vita nominale per edifici esistenti assume un ruolo molto importante nel caso di edifici di interesse storico monumentale, dove le possibilità di intervenire risultano limitate. In caso di vita nominale inferiore a quello previsto per le nuove costruzioni, la struttura dovrà essere sottoposta a nuova verifica dopo il periodo di tempo trascorso.

$$V_n := -\frac{T_{slv} \cdot \ln(1 - P_{vr})}{C_u}$$

$$V_n = 3.161$$

Pertanto si ottiene una vita nominale pari a 3 anni.

### Valutazione Indicatore di Rischio

Dal rapporto tra il tempo di ritorno e quello di riferimento per lo stesso stato limite si ottiene l'indicatore di rischio della struttura in termini di tempo di ritorno

$$I := \frac{T_{slv}}{T_{Rslv}}$$

$$I = 0.063$$

### TORRE DEL SOCCORSO - STATO MODIFICATO - VALUTAZIONE SICUREZZA

#### Valutazione Fattore di accellerazione

Dal minimo dei precedenti si ottiene l'accellerazione di picco che la struttura riesce a sopportare tramite le equazioni eq C8A.4.9 e C8A.4.10 della CIRC. n°617 2/2/09

$$a_g := \min(a_{gM1movest}, a_{gM1msud}, a_{gM1mnord}, a_{gM1mest}, a_{gM2mnordovest}, a_{gM2mnordest})$$

$$a_g = 0.13$$

L'indicatore di rischio in termini di accellerazione si ottiene confrontando l'accellerazione che riesce a sopportare la struttura e quella di riferimento

$$f_{asl} := \frac{a_g}{a_{gslv}}$$

$$f_{asl} = 1.092$$

### Valutazione Vita Nominale

#### Valori dei parametri $a_g$ , $F_o$ , $T_C$ per i periodi di ritorno $T_R$ di riferimento

$T_R$ [anni]	$a_g$ [g]	$F_o$ [-]	$T_C$ [s]
30	0.041	2.564	0.234
50	0.051	2.548	0.250
72	0.059	2.560	0.259
101	0.068	2.546	0.264
140	0.076	2.548	0.268
201	0.087	2.544	0.273
475	0.119	2.518	0.282
975	0.156	2.439	0.286
2475	0.208	2.427	0.294

dalla tabella si evince che il tempo di ritorno della nostra struttura per la a.g(SLV) di riferimento

$$a_g = 0.13$$

risulta compreso tra:

$$a_{gtr1} := 0.119 \quad a_{gtr2} := 0.156$$

$$T_{r1} := 475 \quad T_{r2} := 975$$

$$\alpha := \left( \log(a_g) - \log(a_{gtr1}) \right) \cdot \frac{\log\left(\frac{T_{r2}}{T_{r1}}\right)}{\log\left(\frac{a_{gtr2}}{a_{gtr1}}\right)} \quad \alpha = 0.102$$

$$T_{slv} := T_{r1} \cdot 10^\alpha \quad T_{slv} = 600.734$$

la valutazione del tempo di ritorno e della vita nominale per edifici esistenti assume un ruolo molto importante nel caso di edifici di interesse storico monumentale, dove le possibilità di intervenire risulano limitate. In caso di vita nominale inferiore a quello previsto per le nuove costruzioni, la struttura dovrà essere sottoposta a nuova verifica dopo il periodo di tempo trascorso.

$$V_n := -\frac{T_{slv} \cdot \ln(1 - P_{vr})}{C_u}$$

$$V_n = 63.294$$

Pertanto si ottiene una vita nominale pari a 60 anni.

### Valutazione Indicatore di Rischio

Dal rapporto tra il tempo di ritorno e quello di riferimento per lo stesso stato limite si ottiene l'indicatore di rischio della struttura in termini di tempo di ritorno

$$I := \frac{T_{slv}}{T_{Rslv}}$$

$$I = 1.266$$

#### TABELLA RIEPILOGATIVA - VALUTAZIONE SICUREZZA

Di seguito si riportano i risultati relativamente al fattore di accellerazione, vita nominale e indice di sicurezza in accordo con il punto **2.4** della **Direttiva sulla valutazione del rischio Sismico**

	f.accel	V.n	I
STATO ATTUALE	0,227	3	0,063
STATO MODIFICATO	1,092	63	1,266

## MECCANISMI DI RIBALTIMENTO DELLA PARTE ALTA DEL CANTONALE

Valutazione del moltiplicatore orizzontale dei carichi  $\alpha_0$  di attivazione dei meccanismi locali di ANGOLATE LIBERE IN PRESENZA DI AZIONI CONCENTRATE IN TESTA AL CANTONALE (IN PARTICOLARE DOVUTE ALLA SPINTA DI PUNTONI NEI TETTI A PADIGLIONE), COSTITUITE DA STRUTTURE MURARIE NON ADEGUATAMENTE COLLEGATE ALLA COPERTURA E LIBERE IN SOMMITÀ e delle relative PGA per le verifiche.  
Si considera il ribaltamento di un macroelemento cuneiforme rispetto ad una cerniera posta alla base dello stesso e nella direzione formante un angolo di 45° rispetto alle pareti convergenti nell'angolata. Per maggiore chiarezza si faccia riferimento alla Legenda ed alle Figure riportate a lato.

**Legenda:**  
 Caselle di inserimento dati  
 Caselle contenenti i dati elaborati  
 Caselle contenenti i risultati finali dell'analisi

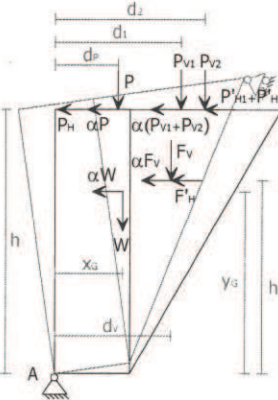
CARATTERIZZAZIONE GEOMETRICA DEL CUNEO DI DISTACCO								
Spessore delle pareti convergenti nell'angolata S [m]	Altezza globale del cuneo di distacco h [m]	Quota del baricentro del cuneo di distacco y <sub>0</sub> [m]	Distanza orizzontale, misurata nella direzione dell'azione trasmessa da archi o volte al cuneo di distacco rispetto alla cerniera A h <sub>v</sub> [m]	Braccio orizzontale del carico P trasmesso in testa al cantonale in base al baricentro del cuneo di distacco rispetto alla cerniera A x <sub>0</sub> [m]	Braccio orizzontale del carico trasmesso da archi o volte al cuneo di distacco rispetto alla cerniera A d <sub>P</sub> [m]	Braccio orizzontale del carico trasmesso in testa alla parete 1 rispetto alla cerniera A d <sub>1</sub> [m]	Braccio orizzontale del carico trasmesso in testa alla parete 2 rispetto alla cerniera A d <sub>2</sub> [m]	
1.20	9.35	5.80	8.67	1.63	1.70	1.84	1.80	1.80

COORDINATE DEI PUNTI DI APPLICAZIONE DELLE AZIONI SUL CANTONALE NEL PIANO ORIZZONTALE						
Arretramento della cerniera attorno alla quale avviene il ribaltamento rispetto allo spigolo esterno del cantonale nella direzione del ribaltamento [m]	Coordinate nel sistema di riferimento del piano orizzontale	Distanza dall'intersezione muraria ed arretramento rispetto alla superficie interna della parete del punto di applicazione del carico P sul cuneo di distacco [m]	Distanza dall'intersezione muraria ed arretramento rispetto alla superficie interna della parete del punto di applicazione del carico P sul cuneo di distacco [m]	Distanza dall'intersezione muraria ed arretramento rispetto alla superficie interna della parete del punto di applicazione del carico in testa alla parete 1 [m]	Distanza dall'intersezione muraria ed arretramento rispetto alla superficie interna della parete del punto di applicazione del carico in testa alla parete 2 [m]	
0.00	d a	0.50 0.60	0.20 0.00	1.75 1.60	1.75 1.60	

AZIONI SUL CUNEO DI DISTACCO							
Peso proprio del cuneo di distacco W [kN]	Carico verticale concentrato trasmesso in testa al cantonale P [kN]	Spinta statica trasmessa in testa alla parete 1 ed alla parete 2 P <sub>H</sub> , P <sub>V1</sub> , P <sub>V2</sub> [kN]	Carico verticale in testa alla parete 1 ed alla parete 2 P <sub>V1</sub> , P <sub>V2</sub> [kN]	Componente orizzontale della spinta di archi o volte F <sub>V</sub> [kN]	Componente orizzontale della spinta di archi o volte F <sub>H</sub> [kN]	Spinta statica in testa alla parete 1 nella direzione ortogonale alla parete e nella direzione del ribaltamento P <sub>H1</sub> , P <sub>H2</sub> [kN]	Risultante dell'azione trasferita dai tiranti in testa al cuneo nella direzione parallela alle pareti e del ribaltamento (T <sub>1</sub> +T <sub>2</sub> ), (T <sub>1</sub> +T <sub>2</sub> ) [kN]
1950.0			5.7 5.7	14.4	11.8 8.2	0.0	0.0 0.0

DATI DI CALCOLO	MOMENTO DELLE AZIONI STABILIZZANTI				
	Peso proprio del cuneo di distacco [kNm]	Carico in testa al cantonale [kNm]	Carico in testa alle pareti [kNm]	Azione di archi o volte [kNm]	Azione dei tiranti [kNm]
3171.4 0.0 20.6 26.5 0.0					
MOMENTO DELLE AZIONI RIBALZANTI					
inertia del cuneo di distacco [kNm]	inertia del carico in testa al cantonale [kNm]	inertia del carico in testa alle pareti [kNm]	inertia di archi o volte [kNm]	Spinta statica sul cantonale [kNm]	Spinta statica sulle pareti [kNm]
11310.0	0.0	106.6	125.0	0.0	70.9
MOLTIPLICATORE $\alpha_0$	Valore di $\alpha_0$	Fattore di Confidenza FC	Massa partecipante M*	Frazione massa partecipante e*	Accelerazione spettrale $a_0^*$ [m/sec <sup>2</sup> ]
	0.273	1.35	200.638	0.996	1.989

CALCOLO DELLE PGA PER LA VERIFICA DELLO STATO LIMITE DI SALVAGUARDIA DELLA VITA CIRCOLARE N. 617 DEL 02-02-2009 - ISTRUZIONI PER L'APPLICAZIONE DELLE NTC 14-01-2008					
PARAMETRI DI CALCOLO					
	Fattore di struttura q	2.00			
	Coefficiente di amplificazione topografica S <sub>T</sub>	1.50			
	Categoria suolo di fondazione	C			
	PGA di riferimento a <sub>0</sub> (P <sub>ve</sub> ) [g]	0.119			
	Fattore di amplificazione massima dello spettro F <sub>0</sub>	2.518			
	Periodo di inizio del tratto a velocità costante dello spettro T <sub>c</sub> * [sec]	0.282			
	Fattore di ammortamento n	1.000			
	Quota di base del macroelemento rispetto alla fondazione [m]	14.50			
	Altezza della struttura H [m]	23.86			
	Coefficiente di amplificazione stratigrafica S <sub>s</sub>	1.500			
	Coefficiente C <sub>0</sub>	1.594			
	Fattore di amplificazione locale del suolo di fondazione S	2.250			
	Numeri di piani dell'edificio N	3			
	Coefficiente di partecipazione modale $\gamma$	1.286			
	Primo periodo di vibrazione dell'intera struttura T <sub>1</sub> [sec]	0.536			
	Baricentro delle linee di vincolo Z [m]	$\psi(Z) = Z/H$	$a_{g(SLV)} (CBA.4.9)$	$S_a(T_1) (CBA.4.10)$	
PGA-SLV	14.50	0.613	0.180	5.049	
	$a_{g(SLV)}$ min(CBA.4.9; CBA.4.10)				
	0.108				



MECCANISMI DI RIBALTAMENTO DELLA PARTE ALTA DEL CANTONALE

Valutazione del moltiplicatore orizzontale dei carichi  $u_0$  di attivazione dei meccanismi locali di ANGOLATE LIBERE IN PRESENZA DI AZIONI CONCENTRATE IN TESTA AL CANTONALE (IN PARTICOLARE DOVUTE ALLA SPINTA DI PUNTONI NEI TETTI A PADIGLIONE), COSTITUITE DA STRUTTURE MURARIE NON ADEGUATAMENTE COLLEGATE ALLA COPERTURA E LIBERE IN SOMMITA' e delle relative PGA per le verifiche.

Si considera il ribaltamento di un macroelemento cuneiforme rispetto ad una cerniera posta alla base dello stesso e nella direzione formante un angolo di 45° rispetto alle pareti convergenti nell'angolata. Per maggiore chiarezza si faccia riferimento alla *Legenda* ed alle *Figure* riportate a lato.

CARATTERIZZAZIONE GEOMETRICA DEL CUNEO DI DISTACCO								
DATI INIZIALI	Spessore delle pareti convergenti nell'angolata S [m]	Altezza globale del cuneo di distacco h [m]	Quota del baricentro del cuneo di distacco y <sub>G</sub> [m]	Quota del punto di applicazione dell'azione trasmessa da archi o volte al cuneo di distacco rispetto alla cerniera A h <sub>v</sub> [m]	Distanza orizzontale, misurata nella direzione del ribaltamento, del baricentro del cuneo di distacco rispetto alla cerniera A x <sub>G</sub> [m]	Braccio orizzontale del carico P trasmesso in testa al cantone rispetto alla cerniera A d <sub>P</sub> [m]	Braccio orizzontale dell'azione trasmessa da archi o volte al cuneo di distacco rispetto alla cerniera A d <sub>V</sub> [m]	Braccio orizzontale del carico trasmesso in testa alla parete 1 rispetto alla cerniera A d <sub>1</sub> [m]
	1.15	9.35	6.00	8.67	1.20	1.63	1.77	1.73
COORDINATE DEI PUNTI DI APPLICAZIONE DELLE AZIONI SUL CANTONE NEL PIANO ORIZZONTALE								
Arretramento della cerniera attorno alla quale avviene il ribaltamento rispetto allo spigolo esterno del cantone nella direzione del ribaltamento [m]	Coordinate nel sistema di riferimento del piano orizzontale	Distanza dall'intersezione muraria ed arretramento rispetto alla superficie interna della parete del punto di applicazione del carico P sul cantone [m]	Distanza dall'intersezione muraria ed arretramento rispetto alla superficie interna della parete del punto di applicazione del carico di archi o volte [m]	Distanza dall'intersezione muraria ed arretramento rispetto alla superficie interna della parete del punto di applicazione del carico in testa alla parete 1 [m]	Distanza dall'intersezione muraria ed arretramento rispetto alla superficie interna della parete del punto di applicazione del carico in testa alla parete 2 [m]			
	d	0.00		0.20	1.75	1.75		
	0.00	a	0.60	0.00	1.60	1.60		
AZIONI SUL CUNEO DI DISTACCO								
Peso proprio del cuneo di distacco W [kN]	Carico verticale concentrato trasmesso in testa al cantone P [kN]	Spinta statica trasmessa in testa al cantone P <sub>H</sub> [kN]	Carico verticale in testa alla parete 1 ed alla parete 2 P <sub>V1</sub> , P <sub>V2</sub> [kN]	Componente verticale della spinta di archi o volte F <sub>V</sub> [kN]	Componente orizzontale della spinta di archi o volte nella direzione ortogonale alla parete e nella direzione del ribaltamento F <sub>H</sub> , F <sub>H</sub> [kN]	Spinta statica in testa alla parete 1 nella direzione ortogonale alla parete e nella direzione del ribaltamento P <sub>H1</sub> , P <sub>H1</sub> [kN]	Spinta statica in testa alla parete 2 nella direzione ortogonale alla parete e nella direzione del ribaltamento P <sub>H2</sub> , P <sub>H2</sub> [kN]	Risultante dell'azione trasferita dai tiranti in testa al cuneo nella direzione parallela alle pareti e del ribaltamento (T <sub>1</sub> +T <sub>2</sub> ), (T <sub>1</sub> +T <sub>2</sub> ') [kN]
1900.0				5.7	14.4	11.6	8.2	0.0
				5.7			0.0	0.0
MOMENTO DELLE AZIONI STABILIZZANTI								
Peso proprio del cuneo di distacco W [kNm]	Carico in testa al cantone [kNm]	Carico in testa alle pareti [kNm]	Azione di archi o volte [kNm]	Azione dei tiranti [kNm]				
2284.0	0.0	19.7	25.5	0.0				
MOMENTO DELLE AZIONI RIBALTANTI								
Inerzia del cuneo di distacco [kNm]	Inerzia del carico in testa al cantone [kNm]	Inerzia del carico in testa alle pareti [kNm]	Inerzia di archi o volte [kNm]	Spinta statica sul cantone [kNm]	Spinta statica sulle pareti [kNm]	Spinta statica di archi o volte [kNm]		
11400.0	0.0	106.6	125.0	0.0	0.0	70.9		
MOLTIPLICATORE $\alpha_0$								
Valore di $\alpha_0$	Fattore di Confidenza FC	Massa partecipante M*	Frazione massa partecipante e*	Accelerazione spettrale a <sub>s*</sub> [m/sec <sup>2</sup> ]				
0.194	1.35	195.678	0.997	1.415				

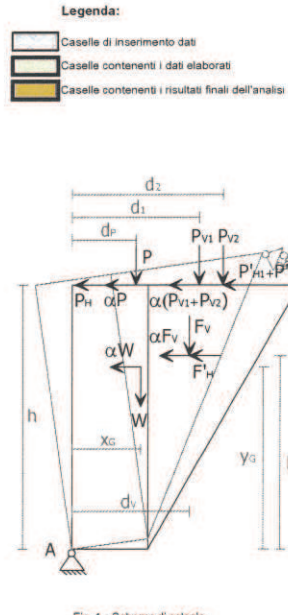


Fig. 1 - Schema di calcolo

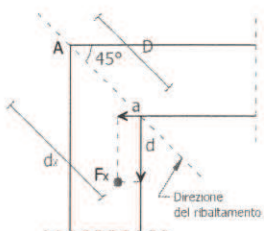


Fig. 2 - Vista dall'alto del cantonale

**CALCOLO DELLE PGA PER LA VERIFICA DELLO STATO LIMITE DI SALVAGUARDIA DELLA VITA  
CIRCOLARE N. 617 DEL 02-02-2009 - ISTRUZIONI PER L'APPLICAZIONE DELLE NTC 14-01-2008**

<b>PARAMETRI DI CALCOLO</b>	Fattore di struttura q	2.00
	Coefficiente di amplificazione topografica $S_T$	1.50
	Categoria suolo di fondazione	C
	PGA di riferimento $a_g(P_{90})$ [g]	0.119
	Fattore di amplificazione massima dello spettro $F_O$	2.518
	Periodo di inizio del tratto a velocità costante dello spettro $T_{C*}$ [sec]	0.282
	Fattore di ammortamento $\eta$	1.000
	Quota di base del macroelemento rispetto alla fondazione [m]	14.50
	Altezza della struttura H [m]	23.66
	Coefficiente di amplificazione stratigrafica $S_S$	1.500
<b>PGA-SLV</b>	Coefficiente $C_C$	1.594
	Fattore di amplificazione locale del suolo di fondazione S	2.250
	Numero di piani dell'edificio N	3
	Coefficiente di partecipazione modale $\gamma$	1.286
	Primo periodo di vibrazione dell'intera struttura $T_1$ [sec]	0.536
Baricentro delle linee di vincolo Z [m]		
$\psi(Z) = Z/H$		
$a_g(SLV)$ (CSA 4.9)		
$S_g(T_1)$ (CSA 4.10)		
14.50		0.613
0.128		3.593
$a_g(SLV)$ min(CSA 4.9, CSA 4.10)		
0.077		

## MECCANISMI DI RIBALTIMENTO SEMPLICE DI PARETE MONOLITICA

DATI INIZIALI	Elevazione	GEOMETRIA DELLA FACCIA (*)					Arretramento della cerniera attorno al quale avviene il ribaltamento rispetto al lombo esterno della parete [m]	
		Altezza delle fasce murarie		Larghezza delle fasce murarie				
		Quota del sottofinestra [m]	Quota del sopralfinestra [m]	Larghezza della fascia sottofinestra al netto delle aperture [m]	Larghezza della fascia intermedia al netto delle aperture [m]	Larghezza della fascia sopralfinestra al netto delle aperture [m]		
	1	2.50		6.22			20.0	
	2	3.98		5.85			20.0	
	3	0.84	1.56	5.85	4.58	5.85	20.0	
	4	0.25	2.64	4.79	4.15	5.73	20.0	
CARATTERIZZAZIONE GEOMETRICA DEI MACROELEMENTI								
DATI INIZIALI	Elevazione	Spessore della parete al piano i-esimo $s_i$ [m]	Altezza di interpano al piano i-esimo $h_i$ [m]	Braccio orizzontale del carico del soffitto al piano i-esimo rispetto alla cerniera cilindrica $d_i$ [m]	Braccio orizzontale dell'azione di archi o volte al piano i-esimo rispetto alla cerniera cilindrica $d_{hi}$ [m]	Quota del punto di applicazione di azioni trasmesse da archi o volte al piano i-esimo $h_{oi}$ [m]	Quota del baricentro della parete al piano i-esimo $y_{oi}$ [m]	
							Quota del baricentro della parete al piano i-esimo (*) $y_{gi}$ [m]	
	1	2.50					1.25	
	2	3.98					1.99	
	3		7.96				4.04	
	4	1.15	9.35		1.00	8.67	4.94	
AZIONI SUI MACROELEMENTI								
DATI INIZIALI	Elevazione	Peso proprio della parete al piano i-esimo $W_i$ [kN]	Peso proprio della parete al piano i-esimo (*) $W_i$ [kN]	Carico trasmesso dal soffitto al piano i-esimo $P_{si}$ [kN]	Spinta statica della copertura $P_H$ [kN]	Componente verticale della spinta di archi o volte al piano i-esimo $F_{Vi}$ [kN]	Componente orizzontale della spinta di archi o volte al piano i-esimo $F_{Hi}$ [kN]	
	1	0.0						
	2	0.0						
	3	0.0						
	4	1140.0		5.7		14.4	16.4	

\*\*) Nei casi in cui la parte (o la porzione di parte interessata dai ribaltamenti) di geometria regolare risultasse priva di aperture è sufficiente specificare l'altezza nella colonna "Quota del sottofinestra" e la larghezza nella colonna "Larghezza della fascia sottofinestra al netto delle aperture".

MOMENTO DELLE AZIONI STABILIZZANTI					
DATI DI CALCOLO	Ribalmento delle elevazioni:	Peso proprio delle pareti [kNm]	Carico dei solai [kNm]	Azione di archi o volte [kNm]	Azione dei tiranti [kNm]
	-	655.5	0.0	14.4	0.0
	-	655.5	0.0	14.4	0.0
	-	655.5	0.0	14.4	0.0
	4	655.5	0.0	14.4	0.0
MOMENTO DELLE AZIONI RIBALANTI					
DATI DI CALCOLO	Ribalmento delle elevazioni:	Inerzia delle pareti [kNm]	Inerzia dei solai [kNm]	Inerzia di archi o volte [kNm]	Spinta statica di archi o volte [kNm]
	-	22095.8	135.6	333.2	378.1
	-	19249.5	121.4	297.2	337.2
	-	14708.8	98.7	239.8	272.1
	4	5834.5	53.3	125.0	141.8
MOLTIPLICATORE $\alpha_0$	Ribalmento delle elevazioni:	Valore di $\alpha_0$	Fattore di Confindenza FC	Massa partecipante M*	Frazione massa partecipante $\epsilon^*$
	-	0.013	1.35	118.174	0.999
	-	0.017		118.148	0.999
	-	0.026		118.072	0.998
	4	0.084		112.078	0.990

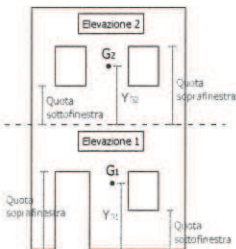
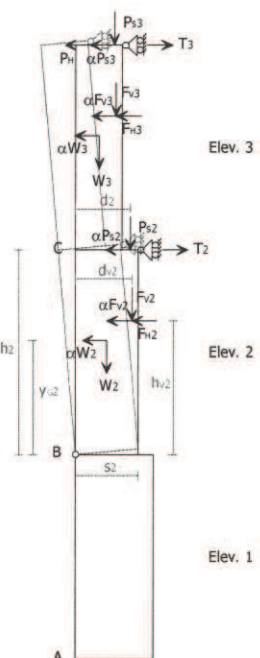


Fig. 1 - Esempio di rappresentazione schematica della parete ribaltante



**CALCOLO DELLE PGA PER LA VERIFICA DELLO STATO LIMITE DI SALVAGUARDIA DELLA VITA**  
**CIRCOLARE N. 617 DEL 02-02-2009 -ISTRUZIONI PER L'APPLICAZIONE DELLE NTC 14-01-2008**

## MECCANISMI DI RIBALTIMENTO SEMPLICE DI PARETE MONOLITICA

Elevazione	GEOMETRIA DELLA FACCIA (*)					Peso specifico della muratura $\gamma_1$ [kN/m <sup>3</sup> ]	Arretramento della cerniera attorno alla quale avviene il ribaltamento rispetto al lembo esterno della parete [m]
	Altezza delle fasce murarie	Larghezza delle fasce murarie	Quota del sottofinestra [m]	Quota del soprafinestra [m]	Larghezza della fascia sottofinestra al netto delle aperture [m]		
1	2.50	6.20				20.0	
2	1.20	5.85	4.73	5.85	20.0		
3	0.77	5.85	4.80	5.85	20.0		
4	1.24	5.85	5.07	5.85	20.0		

## CARATTERIZZAZIONE GEOMETRICA DEI MACROELEMENTI

Elevazione	Spessore della parete al piano i-esimo $s_i$ [m]	Altezza di interpenetrazione al piano i-esimo $h_i$ [m]	Braccio orizzontale del carico del soletto al piano i-esimo rispetto alla cerniera cilindrica $d_i$ [m]	Braccio orizzontale di archi o volte al piano i-esimo rispetto alla cerniera cilindrica $d_{Vi}$ [m]	Quota del punto di applicazione di azioni trasmesse da archi o volte al piano i-esimo $y_{Vi}$ [m]	Quota del baricentro della parete al piano i-esimo $y_{Gi}$ [m]	Quota del baricentro della parete al piano i-esimo (**) $y_{Gi}$ [m]
1		2.50				1.25	
2		3.98				2.00	
3	1.80	7.98		1.00	7.64	4.01	
4	1.20	9.35		1.00	8.67	4.71	

## AZIONI SUI MACROELEMENTI

Elevazione	Peso proprio della parete al piano i-esimo $W_i$ [kN]	Peso proprio della parete al piano i-esimo (**) $W_i$ [kN]	Carico trasmesso dal soletto al piano i-esimo $P_{Si}$ [kN]	Spinta statica della copertura $P_{Vi}$ [kN]	Componente verticale della spinta di archi o volte al piano i-esimo $F_{Vi}$ [kN]	Componente orizzontale della spinta di archi o volte al piano i-esimo $F_{HVi}$ [kN]	Azione del tirante al piano i-esimo $T_i$ [kN]
1	0.0						
2	0.0						
3	1857.9						
4	1296.5		5.7		13.0	22.0	
					14.4	16.4	

(\*) Nei casi in cui la parete (o la porzione di parete interessata dal ribaltamento) di geometria regolare risultasse priva di aperture è sufficiente specificarne l'altezza nella colonna "Quota del sottofinestra" e la larghezza nella colonna "Larghezza della fascia sottofinestra al netto delle aperture".

(\*\*) Da riempire solo in caso di geometrie irregolari dei macroelementi in facciata, non descrivibili attraverso i dati immessi nella sezione "Geometria della facciata".

DATI DI CALCOLO	MOMENTO DELLE AZIONI STABILIZZANTI				
	Ribaltamento delle elevazioni:	Peso proprio delle pareti [kNm]	Carico dei solai [kNm]	Azione di archi o volte [kNm]	Azione dei tiranti [kNm]
-	2269.9	0.0	27.4	0.0	
-	2269.9	0.0	27.4	0.0	
4 - 3	2269.9	0.0	27.4	0.0	
4	777.9	0.0	14.4	0.0	

MOMENTO DELLE AZIONI RIBALTIANTI					
Ribaltamento delle elevazioni:	Inerzia delle pareti [kNm <sup>2</sup> ]	Inerzia dei solai [kNm <sup>2</sup> ]	Inerzia di archi o volte [kNm <sup>2</sup> ]	Spinta statica di archi o volte [kNm]	Spinta statica della copertura [kNm]
-	42226.8	135.8	516.7	688.8	0.0
-	34840.9	121.4	448.1	592.7	0.0
4 - 3	23082.7	98.7	339.0	440.1	0.0
4	6109.8	53.3	125.0	141.8	0.0

MULTIPLICATORE $\alpha_{t0}$	Ribaltamento delle elevazioni:	Valore di $\alpha_0$	Fattore di Confindenza $FC$	Massa partecipante $M^*$	Frazione massa partecipante $e^*$	Accelerazione spettrale $a_0$ [m/sec <sup>2</sup> ]
-	-	0.038		279.055	0.916	0.298
-	-	0.048	1.35	268.579	0.882	0.397
4 - 3	-	0.079		233.844	0.767	0.748
4	-	0.103		132.891	0.989	0.760

CALCOLO DELLE PGA PER LA VERIFICA DELLO STATO LIMITE DI SALVAGUARDIA DELLA VITA CIRCOLARE N. 617 DEL 02-02-2009 - ISTRUZIONI PER L'APPLICAZIONE DELLE NTC 14-01-2008						
PARAMETRI DI CALCOLO	Fattore di struttura q					
	Coefficiente di amplificazione topografica $S_T$	Categoria suolo di fondazione	PGA di riferimento $a_g(P_{ref})$ [g]	Fattore di amplificazione massima dello spettro $F_{Dg}$	Periodo di inizio del tratto a velocità costante dello spettro $T_{Dg}$ [sec]	Fattore di smorzamento $\eta$
	2.00	C	0.119	2.518	0.282	1.000
	1.50					
	1.50					
	1.50					
	1.564					
	2.250					
	4					
	1.333					
	0.538					
Ribaltamento delle elevazioni:	Baricentro delle linee di vincolo Z [m]	$\psi(Z) = Z/H$	$a_{g(SLV)}$ (C8A.4.9)	$S_g(T_g)$ (C8A.4.10)		
-	-	-	-	-		
-	-	-	-	-		
4 - 3	8.48	0.274	0.068	4.098		
4	14.44	0.610	0.069	1.869		
PGA-SLV	Ribaltamento delle elevazioni:	$a_{g(SLV)}$ min(C8A.4.9; C8A.4.10)				
-	-	-				
-	-	-				
4 - 3	0.068					
4	0.040					

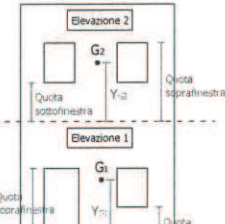


Fig. 1 - Esempio di rappresentazione schematica della parete ribaltante

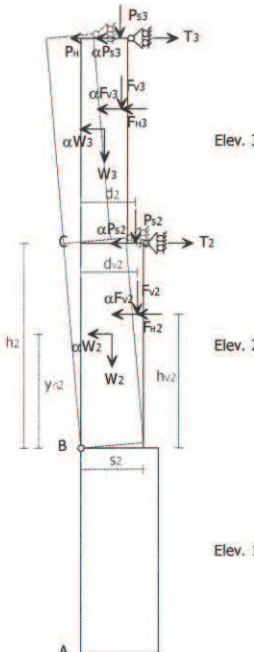


Fig. 2 - Schema di calcolo

## MECCANISMI DI RIBALTIMENTO SEMPLICE DI PARETE MONOLITICA

Elevazione	GEOMETRIA DELLA FACCIA (*)					Peso specifico della muratura $\gamma_1$ [kN/m <sup>3</sup> ]	Arretramento della cerniera attorno alla quale avviene il ribaltamento rispetto al lembo esterno della parete [m]		
	Altezza delle fasce murarie		Larghezza delle fasce murarie						
	Quota del sottofinestra [m]	Quota del sopravfinestra [m]	Larghezza della fascia sottofinestra al netto delle aperture [m]	Larghezza della fascia intermedia al netto delle aperture [m]	Larghezza della fascia sopravfinestra al netto delle aperture [m]				
	1	0.01	1.75	5.52	5.52	5.85	20.0		
DATI INIZIALI		2	0.10	1.42	5.52	5.85	20.0		
		3	0.19	2.01	5.23	4.22	20.0		
		4	0.33	2.22	5.85	5.21	20.0		
CARATTERIZZAZIONE GEOMETRICA DEI MACROELEMENTI									
Elevazione	Spessore della parete al piano i-esimo $s_i$ [m]	Altezza di interpenetrazione al piano i-esimo $h_i$ [m]	Braccio orizzontale del carico del soffitto al piano i-esimo rispetto alla cerniera cilindrica $d_i$ [m]	Braccio orizzontale dell'azione di archi o volte al piano i-esimo rispetto alla cerniera cilindrica $d_{i1}$ [m]	Quota del punto di applicazione di azioni trasmesse da archi o volte al piano i-esimo $h_{i1}$ [m]	Quota del baricentro della parete al piano i-esimo $y_{ci}$ [m]	Quota del baricentro della parete al piano i-esimo (*) $y_{ci}$ [m]		
1		2.50				1.27			
2	1.15	3.98		1.00	3.48	2.02			
3	1.15	7.96		1.00	7.64	4.19			
4	1.15	9.35		1.00	8.67	4.75			
AZIONI SUI MACROELEMENTI									
Elevazione	Peso proprio della parete al piano i-esimo $W_i$ [kN]	Peso proprio della parete al piano i-esimo (*) $W_i$ [kN]	Carico trasmesso dal soffitto al piano i-esimo $P_{i1}$ [kN]	Spinta statica della copertura $P_{i2}$ [kN]	Componente verticale della spinta di archi o volte al piano i-esimo $F_{i1}$ [kN]	Componente orizzontale della spinta di archi o volte al piano i-esimo $F_{i2}$ [kN]	Azione del tirante al piano i-esimo $T_i$ [kN]		
1	0.0								
2	524.7				11.4	15.9			
3	1000.1				13.0	21.2			
4	1230.2		5.7		14.4	16.4			

(\*) Nei casi in cui la parete (o la porzione di parete interessata dal ribaltamento) di geometria regolare risultasse priva di aperture è sufficiente

specificare l'altezza nella colonna "Quota del sottofinestra" e la larghezza nella colonna "Larghezza della fascia sottofinestra al netto delle aperture" (\*). Da rilevare solo in caso di geometrie irregolari dei macroalveoli, in facciata, non decomponibili attraverso i dati immessi nella sezione.

(\*) Da riempire solo in caso di geometrie irregolari dei macroelementi in facciata, non descrivibili attraverso i dati immessi nella sezione "Geometria della facciata".

DATI DI CALCOLO	MOMENTO DELLE AZIONI STABILIZZANTI					
	Ribalmento delle elevazioni:	Peso proprio delle pareti [kNm]	Carico dei solai [kNm]	Azione di archi o volte [kNm]	Azione dei tiranti [kNm]	
	-	1584.1	0.0	38.8	0.0	
	4 - 3 - 2	1584.1	0.0	38.8	0.0	
	4 - 3	1282.4	0.0	27.4	0.0	
	4	707.4	0.0	14.4	0.0	
MOMENTO DELLE AZIONI RIBALTANTI						
MULTIPLICATORE $\alpha_0$	Ribalmento delle elevazioni:	Inerzia delle pareti [kNm]	Inerzia dei solai [kNm]	Inerzia di archi o volte [kNm]	Spinta statica di archi o volte [kNm]	Spinta statica della copertura [kNm]
	-	36648.0	135.6	584.8	772.5	0.0
	4 - 3 - 2	29760.4	121.4	487.8	638.8	0.0
	4 - 3	19825.8	98.7	339.0	434.0	0.0
	4	5845.9	53.3	125.0	141.8	0.0
	Ribalmento delle elevazioni:	Valore di $\alpha_0$	Fattore di Confidenza FC	Massa partecipante $M^*$	Frazione massa partecipante $\alpha^*$	Accelerazione spettrale $a_0^*$ [m/s $^2$ ]
MULTIPLICATORE $\alpha_0$		0.023	1.35	240.630	0.843	0.196
		0.032		222.682	0.790	0.302
		0.043		187.881	0.814	0.386
		0.098		125.995	0.989	0.708

Fig. 1 - Esempio di rappresentazione schematica della parete ribaltante

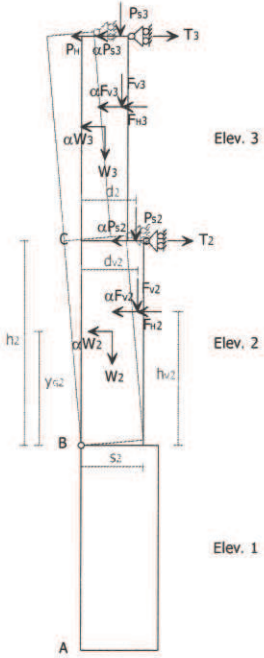


Fig. 2 - Schema di calcolo

CALCOLO DELLE PGA PER LA VERIFICA DELLO STATO LIMITE DI SALVAGUARDIA DELLA VITA CIRCOLARE N. 617 DEL 02-02-2009 - ISTRUZIONI PER L'APPLICAZIONE DELLE NTC 14-01-2008				
PARAMETRI DI CALCOLO	Fattore di struttura q		2,00	
	Coefficiente di amplificazione topografica $S_T$		1,50	
	Categoria suolo di fondazione		C	
	PGA di riferimento $a_g(Z_{\text{ref}}) [g]$		0,119	
	Fattore di amplificazione massima dello spettro $F_0$		2,518	
	Periodo di inizio del tratto a velocità costante dello spettro $T_c$ [sec]		0,282	
	Fattore di smorzamento $\eta$		1,000	
	Altezza della struttura H [m]		23,86	
	Coefficiente di amplificazione stratigrafica $S_S$		1,500	
	Coefficiente $C_0$		1,594	
RIBALTIMENTO DELLE ELEVAZIONI	Coefficiente di amplificazione locale del suolo di fondazione S		2,250	
	Numero di piani dell'edificio N		4	
	Coefficiente di partecipazione modale $\gamma$		1,333	
	Primo periodo di vibrazione dell'intera struttura $T_1$ [sec]		0,536	
	Ribalzentamento delle elevazioni:	Baricentro delle linee di vincolo Z [m]	$\psi(Z) = Z/H$	$S_g(SLV)$ (CBA.4.9)
PGA-SLV	Ribalzentamento delle elevazioni:		$\psi(Z) = Z/H$	$S_g(T_1)$ (CBA.4.10)
RIBALIMENTO DELLE ELEVAZIONI:			$a_g(SLV)$ min(CBA.4.9; CBA.4.10)	
-	- 4 - 3 - 2	2,50	0,106	0,027
- 4 - 3	8,48	0,274	0,035	2,113
4	14,44	0,610	0,064	1,739

## MECCANISMI DI RIBALTOAMENTO SEMPLICE DI PARETE MONOLITICA

Elevazione	GEOMETRIA DELLA FACCIA (*)					Peso specifico della muratura $\gamma_f$ [kN/m <sup>3</sup> ]	
	Altezza delle fasce murarie		Larghezza delle fasce murarie				
	Quota del sottofinestra [m]	Quota del sopravfinestra [m]	Larghezza della fascia sottofinestra al netto delle aperture [m]	Larghezza della fascia intermedia al netto delle aperture [m]	Larghezza della fascia sopravfinestra al netto delle aperture [m]		
1	2.50		6.50			20.0	
2	3.98		5.90			20.0	
3	0.70	1.47	5.85	4.99	5.85	20.0	
4	1.12	2.00	5.80	5.22	5.80	20.0	

DATI INIZIALI	CARATTERIZZAZIONE GEOMETRICA DEI MACROELEMENTI							
	Elevazione	Spessore della parete al piano i-esimo $s_i$ [m]	Altezza di interpiano al piano i-esimo $h_i$ [m]	Braccio orizzontale del carico del solai al piano i-esimo rispetto alla cerniera cilindrica $Q_i$ [m]	Braccio orizzontale dell'azione di archi o volte al piano i-esimo rispetto alla cerniera cilindrica $d_M$ [m]	Quota del punto di applicazione di azioni trasmesse da archi o volte al piano i-esimo $h_M$ [m]	Quota del baricentro della parete al piano i-esimo $y_G$ [m]	Quota del baricentro della parete al piano i-esimo (*) $y_{G_i}$ [m]
1		2.50					1.25	
2		1.25	3.98		1.00	3.48	1.99	
3		1.20	7.96		1.00	7.64	4.02	
4		1.15	9.35		1.00	8.67	4.70	

Elevazione	AZIONI SUI MACROELEMENTI						
	Peso proprio della parete al piano i-esimo $W_i$ [kN]	Peso proprio della parete al piano i-esimo (*) $W_i$ [kN]	Carico trasmesso dal solai al piano i-esimo $P_{S_i}$ [kN]	Spinta statica della copertura $P_H$ [kN]	Componente verticale della spinta di archi o volte al piano i-esimo $F_{V_i}$ [kN]	Componente orizzontale della spinta di archi o volte al piano i-esimo $F_{H_i}$ [kN]	Azione del trante al piano i-esimo $T_i$ [kN]
1	0.0						
2	577.1						
3	1101.7						
4	1235.6		5.7		14.4	16.4	

(\*) Nei casi in cui la parete (o la porzione di parete interessata dal ribaltamento) di geometria regolare risultasse priva di aperture è sufficente specificarne l'altezza nella colonna "Quota del sottofinestra" e la larghezza nella colonna "Larghezza della fascia sottofinestra al netto delle aperture".  
 (\*\*) Da riempire solo in caso di geometrie irregolari dei macroelementi in facciata, non descrivibili attraverso i dati immessi nella sezione "Geometria della facciata".

DATI DI CALCOLO	MOMENTO DELLE AZIONI STABILIZZANTI				
	Ribalmento delle elevazioni:	Peso proprio delle pareti [kNm]	Carico del solai [kNm]	Azione di archi o volte [kNm]	Azione dei tranti [kNm]
-		1732.1	0.0	38.8	0.0
4 - 3 - 2		1732.1	0.0	38.8	0.0
4 - 3		1371.5	0.0	27.4	0.0
4		710.4	0.0	14.4	0.0

MOMENTO DELLE AZIONI RIBALZANTI					
Ribalmento delle elevazioni:	Inerzia delle pareti [kNm]	Inerzia del solai [kNm]	Inerzia di archi o volte [kNm]	Spinta statica di archi o volte [kNm]	Spinta statica della copertura [kNm]
-	37815.0	135.6	584.8	757.1	0.0
4 - 3 - 2	30529.1	121.4	487.8	629.9	0.0
4 - 3	20078.5	98.7	339.0	434.0	0.0
4	5812.8	53.3	125.0	141.8	0.0

MULTIPLICATORE $\alpha_0$	Ribalmento delle elevazioni:	Valore di $\alpha_0$	Fattore di Conferenza $F_C$	Massa partecipante $M^*$	Frazione massa partecipante $\alpha^*$	Accelerazione spettrale $a_0$ [m/sec <sup>2</sup> ]
-		0.026		252.327	0.837	0.229
4 - 3 - 2		0.037	1.35	232.162	0.770	0.348
4 - 3		0.047		192.886	0.798	0.428
4		0.097		126.476	0.988	0.716

CALCOLO DELLE PGA PER LA VERIFICA DELLO STATO LIMITE DI SALVAGUARDIA DELLA VITA CIRCOLARE N. 817 DEL 02-02-2009 - ISTRUZIONI PER L'APPLICAZIONE DELLE NTC 14-01-2008						
PARAMETRI DI CALCOLO	Fattore di struttura $q$					
	Coefficiente di amplificazione topografica $S_T$	2.00	Categoria suolo di fondazione	C	PGA di riferimento $a_g(P_{g0})$ [g]	0.119
	Fattore di amplificazione massima dello spettro $F_Q$	2.518	Periodo di inizio del tratto a velocità costante dello spettro $T_{g0}$ [sec]	0.282		
	Fattore di smorzamento $\eta$	1.000	Fattore di amplificazione minima dello spettro $F_{Q_{min}}$	0.100		
	Altezza della struttura $H$ [m]	23.66	Coeficiente di amplificazione stratigrafica $S_S$	1.500		
	Coeficiente $C_C$	1.594	Fattore di amplificazione locale del suolo di fondazione $S$	2.250		
	Fattore di amplificazione minima del piano dell'edificio $N$	4	Numeri di piani dell'edificio $N$	4		
	Coeficiente di partecipazione modale $\gamma$	1.333	Coeficiente di partecipazione modale $\gamma$	1.333		
	Primo periodo di vibrazione dell'intera struttura $T_1$ [sec]	0.536				
Ribalmento delle elevazioni:	Baricentro delle linee di vincolo $Z$ [m]	$\gamma(Z) = Z/H$	$a_g(SV)$ [C8A.4.9]	$S_g(T_1)$ [C8A.4.10]		
-						
4 - 3 - 2	2.50	0.106	0.031	4.911		
4 - 3	6.48	0.274	0.039	2.345		
4	14.44	0.610	0.065	1.759		
PGA-SLV	Ribalmento delle elevazioni:	$a_g(SV)$ [min(C8A.4.9; C8A.4.10)]				
-						
4 - 3 - 2		0.031				
4 - 3		0.039				
4		0.038				

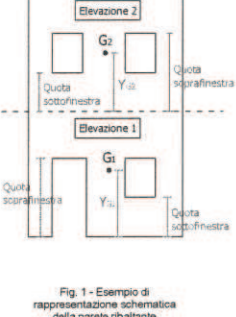


Fig. 1 - Esempio di rappresentazione schematica della parete ribaltante

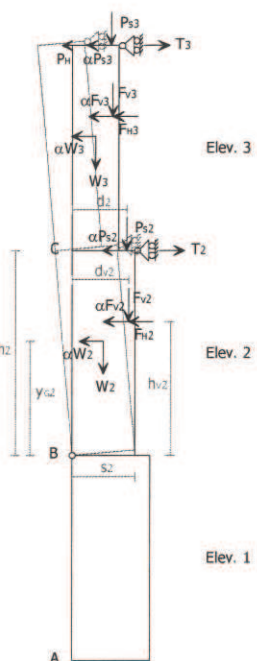


Fig. 2 - Schema di calcolo

## MECCANISMI DI RIBALTO DELLA PARTE ALTA DEL CANTONALE

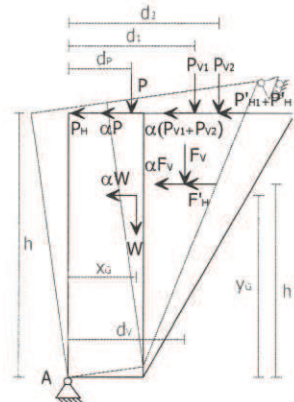
Valutazione del moltiplicatore orizzontale dei carichi ( $\alpha_0$ ) di attivazione dei meccanismi locali di ANGOLATE LIBERE IN PRESENZA DI AZIONI CONCENTRATE IN TESTA AL CANTONALE (IN PARTICOLARE DOVUTE ALLA SPINTA DI PUNTONI NEI TETTI A PADIGLIONE), COSTITUITE DA STRUTTURE MURARIE NON ADEGUATAMENTE COLLEGATE ALLA COPERTURA E LIBERE IN SOMMITÀ e delle relative PGA per le verifiche.

Si considera il ribaltamento di un macroelemento cuneiforme rispetto ad una cerniera posta alla base dello stesso e nella direzione formante un angolo di 45° rispetto alle pareti convergenti nell'angolata. Per maggiore chiarezza si faccia riferimento alla Legenda ed alle Figure riportate a lato.

**Legenda:**

- Casse di inserimento dati
- Casse contenenti i dati elaborati
- Casse contenenti i risultati finali dell'analisi

CARATTERIZZAZIONE GEOMETRICA DEL CUNEO DI DISTACCO								
Spessore delle pareti convergenti nell'angolata $S$ [m]	Altezza globale del cuneo di distacco $h$ [m]	Quota del baricentro del cuneo di distacco $y_0$ [m]	Quota del punto di applicazione dell'azione trasmessa da archi o volte al cuneo di distacco rispetto alla cerniera A $h_y$ [m]	Distanza orizzontale, misurata nella direzione del ribaltamento, del baricentro del cuneo di distacco rispetto alla cerniera A $x_0$ [m]	Braccio orizzontale del carico $P$ trasmesso in testa al cuneo di distacco rispetto alla cerniera A $d_1$ [m]	Braccio orizzontale dell'azione trasmessa da archi o volte al cuneo di distacco rispetto alla cerniera A $d_2$ [m]	Braccio orizzontale del carico trasmesso in testa alla parete 1 rispetto alla cerniera A $d_3$ [m]	Braccio orizzontale del carico trasmesso in testa alla parete 2 rispetto alla cerniera A $d_4$ [m]
1.20	9.35	5.80	8.67	1.83	1.70	1.84	1.80	1.80



## MECCANISMI DI RIBALTIMENTO DELLA PARTE ALTA DEL CANTONALE

Valutazione del moltiplicatore orizzontale dei carichi  $\alpha_0$  di attivazione dei meccanismi locali di ANGOLATE LIBERE IN PRESENZA DI AZIONI CONCENTRATE IN TESTA AL CANTONALE (IN PARTICOLARE DOVUTE ALLA SPINTA DI PUNTONI NEI TETTI A PADIGLIONE), COSTITUITE DA STRUTTURE MURARIE NON ADEGUATAMENTE COLLEGATE ALLA COPERTURA E LIBERE IN SOMMITÀ e delle relative PGA per le verifiche.

Si considera il ribaltamento di un macroelemento cuneiforme rispetto ad una cerniera posta alla base dello stesso e nella direzione formante un angolo di 45° rispetto alle pareti convergenti nell'angolata. Per maggiore chiarezza si faccia riferimento alla *Legenda* ed alle *Figure* riportate a lato.

## Legenda:

	Caselle di inserimento dati
	Caselle contenenti i dati elaborati
	Caselle contenenti i risultati finali dell'analisi

DATI INIZIALI	CARATTERIZZAZIONE GEOMETRICA DEL CUNEO DI DISTACCO								
	Spessore delle pareti convergenti nell'angolata $S$ [m]	Altezza globale del cuneo di distacco $h$ [m]	Quota del baricentro del cuneo di distacco $y_G$ [m]	Quota del punto di applicazione dell'azione trasmessa da archi o volte al cuneo di distacco rispetto alla cerniera A $h_V$ [m]	Distanza orizzontale, misurata nella direzione del ribaltamento, del baricentro del cuneo di distacco rispetto alla cerniera A $x_G$ [m]	Braccio orizzontale del carico $P$ trasmesso in testa al cantonale	Braccio orizzontale del carico trasmesso da archi o volte al cuneo di distacco rispetto alla cerniera A $d_P$ [m]	Braccio orizzontale del carico trasmesso in testa alla parete 1 rispetto alla cerniera A $d_1$ [m]	Braccio orizzontale del carico trasmesso in testa alla parete 2 rispetto alla cerniera A $d_2$ [m]
	1.15	9.35	6.00	8.67	1.20	1.63	1.77	1.73	1.73
	COORDINATE DEI PUNTI DI APPLICAZIONE DELLE AZIONI SUL CANTONALE NEL PIANO ORIZZONTALE								
	Arretramento della cerniera attorno alla quale avviene il ribaltamento rispetto allo spigolo esterno del cantonale nella direzione del ribaltamento [m]	Coordinate nel sistema di riferimento del piano orizzontale	Distanza dall'intersezione muraria ed arretramento rispetto alla superficie interna della parete del baricentro del cuneo di distacco [m]	Distanza dall'intersezione muraria ed arretramento rispetto alla superficie interna della parete del punto di applicazione del carico $P$ sul cantonale [m]	Distanza dall'intersezione muraria ed arretramento rispetto alla superficie interna della parete del punto di applicazione del carico in testa alla parete 1 [m]	Distanza dall'intersezione muraria ed arretramento rispetto alla superficie interna della parete del punto di applicazione del carico in testa alla parete 2 [m]			
	0.00	d	0.00		0.20	1.75	1.75		
		a	0.80		0.00	1.60	1.60		
	AZIONI SUL CUNEO DI DISTACCO								
	Peso proprio del cuneo di distacco $W$ [kN]	Carico verticale concentrato trasmesso in testa al cantonale $P$ [kN]	Spinta statica trasmessa in testa al cantonale $P_H$ [kN]	Carico verticale in testa alla parete 1 ed alla parete 2 $P_{V1}, P_{V2}$ [kN]	Componente verticale della spinta di archi o volte $F_V$ [kN]	Componente orizzontale della spinta di archi o volte nella direzione ortogonale alla parete e nella direzione del ribaltamento $F_H, F_{H1}$ [kN]	Spinta statica in testa alla parete 1 nella direzione ortogonale alla parete e nella direzione del ribaltamento $P_{H1}, P_{H2}$ [kN]	Spinta statica in testa alla parete 2 nella direzione ortogonale alla parete e nella direzione parallela alle pareti e del ribaltamento $P_{H3}, P_{H4}$ [kN]	Risultante dell'azione trasmessa dai tiranti in testa al cuneo in testa al cantonale nella direzione parallela alle pareti e del ribaltamento $(T_1+T_2), (T'_1+T'_2)$ [kN]
	1900.0			5.7	14.4	11.6	8.2	0.0	235.0
				5.7		8.2	0.0	0.0	166.2

DATI DI CALCOLO	MOMENTO DELLE AZIONI STABILIZZANTI				
	Peso proprio del cuneo di distacco [kNm]	Carico in testa al cantonale [kNm]	Carico in testa alle pareti [kNm]	Azione di archi o volte [kNm]	Azione dei tiranti [kNm]
	2284.0	0.0	19.7	25.5	1553.7
	MOMENTO DELLE AZIONI RIBALTANTI				
	Inerzia del cuneo di distacco [kNm]	Inerzia del carico in testa al cantonale [kNm]	Inerzia del carico in testa alle pareti [kNm]	Inerzia di archi o volte [kNm]	Spinta statica sul cantonale [kNm]
	11400.0	0.0	106.6	125.0	0.0
					Spinta statica sulle pareti [kNm]
					Spinta statica di archi o volte [kNm]
	Valore di $\alpha_0$	Fattore di Confidenza FC	Massa partecipante $M^*$	Frazione massa partecipante $e^*$	Accelerazione spettrale $a_0^*$ [m/sec <sup>2</sup> ]
	0.328	1.35	195.673	0.997	2.389

CALCOLO DELLE PGA PER LA VERIFICA DELLO STATO LIMITE DI SALVAGUARDIA DELLA VITA CIRCOLARE N. 617 DEL 02-02-2009 - ISTRUZIONI PER L'APPLICAZIONE DELLE NTC 14-01-2008					
PARAMETRI DI CALCOLO					
	Fattore di struttura q		2.00		
	Coefficiente di amplificazione topografica $S_T$		1.50		
	Categoria suolo di fondazione		C		
	PGA di riferimento $a_{0R}(P_{VH})$ [g]		0.119		
	Fattore di amplificazione massima dello spettro $F_D$		2.518		
	Periodo di inizio del tratto a velocità costante dello spettro $T_{c*}$ [sec]		0.282		
	Fattore di ammortamento $\eta$		1.000		
	Quota di base del macroelemento rispetto alla fondazione [m]		14.50		
	Altezza della struttura H [m]		23.66		
	Coefficiente di amplificazione stratigrafica $S_S$		1.500		
	Coefficiente $C_C$		1.594		
	Fattore di amplificazione locale del suolo di fondazione S		2.250		
	Numero di piani dell'edificio N		3		
	Coefficiente di partecipazione modale $\gamma$		1.288		
	Primo periodo di vibrazione dell'intera struttura $T_1$ [sec]		0.538		
	Baricentro delle linee di vincolo Z [m]	$\psi(Z) = Z/H$	$a_{g(SLV)}$ (C8A.4.9)	$S_v(T_1)$ (C8A.4.10)	
PGA-SLV			0.216	6.064	
	$a_{g(SLV)}$ min(C8A.4.9; C8A.4.10)				
	0.130				

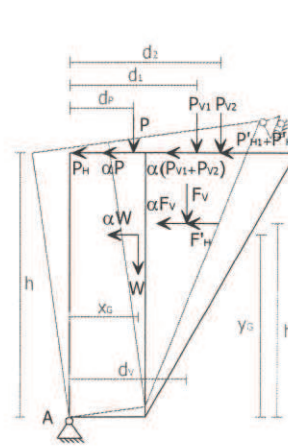


Fig. 1 - Schema di calcolo

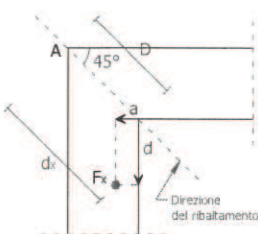


Fig. 2 - Vista dall'alto del cantonale

## MECCANISMI DI RIBALTOAMENTO SEMPLICE DI PARETE MONOLITICA

GEOMETRIA DELLA FACCIA (*)							
Elevazione	Altezza delle fasce murarie		Larghezza delle fasce murarie			Peso specifico della muratura $\gamma_1$ [kNm <sup>3</sup> ]	Arretramento della cerniera attorno alla quale avviene il ribaltamento rispetto al lembo esterno della parete [m]
	Quota del sottofinestra [m]	Quota del soprafinestra [m]	Larghezza della fascia sottofinestra al netto delle aperture [m]	Larghezza della fascia intermedia al netto delle aperture [m]	Larghezza della fascia soprafinestra al netto delle aperture [m]		
1	2.50		6.22			20.0	
2	3.98		5.85			20.0	
3	0.84	1.56	5.85	4.58	5.85	20.0	
4	0.25	2.84	4.79	4.15	5.73	20.0	

## CARATTERIZZAZIONE GEOMETRICA DEI MACROELEMENTI

DATI INIZIALI	Elevazione	Spessore della parete al piano i-esimo $s_i$ [m]	Altezza di interpiano al piano i-esimo $h_i$ [m]	Braccio orizzontale del carico del soletto al piano i-esimo rispetto alla cerniera cilindrica $d_i$ [m]	Braccio orizzontale dell'azione di archi o volte al piano i-esimo rispetto alla cerniera cilindrica $d_M$ [m]	Quota del punto di applicazione di azioni trasmesse da archi o volte al piano i-esimo $h_M$ [m]	Quota del baricentro della parete al piano i-esimo $y_{Gi}$ [m]	Quota del baricentro della parete al piano i-esimo (*) $y_{Gi}$ [m]
				$d_i$ [m]	$d_M$ [m]			
	1	2.50				1.25		
	2	3.98				1.99		
	3	7.96				4.04		
	4	1.15	9.35		1.00	8.67	4.94	

## AZIONI SUI MACROELEMENTI

Elevazione	Peso proprio della parete al piano i-esimo $W_i$ [kN]	Peso proprio della parete al piano i-esimo (*) $W_i$ [kN]	Carico del soletto trasmesso dal soletto al piano i-esimo $P_{Si}$ [kN]	Spinta statica della copertura $P_H$ [kN]	Componente verticale della spinta di archi o volte al piano i-esimo $F_{Vi}$ [kN]	Componente orizzontale della spinta di archi o volte al piano i-esimo $F_{Hj}$ [kN]	Azione del trante al piano i-esimo $T_i$ [kN]
	$W_i$ [kN]	$P_{Si}$ [kN]	$P_H$ [kN]	$F_{Vi}$ [kN]	$F_{Hj}$ [kN]		
1	0.0						
2	0.0						
3	0.0						
4	1140.0	5.7			14.4	16.4	235.0

(\*) Nei casi in cui la parete (o la porzione di parete interessata dal ribaltamento) di geometria regolare risultasse priva di aperture è sufficiente specificarne l'altezza nella colonna "Quota del sottofinestra" e la larghezza nella colonna "Larghezza della fascia sottofinestra al netto delle aperture".

(\*\*) Da riempire solo in caso di geometrie irregolari dei macroelementi in facciata, non descrivibili attraverso i dati immessi nella sezione "Geometria della facciata".

DATI DI CALCOLO	MOMENTO DELLE AZIONI STABILIZZANTI				
	Ribaltoamento delle elevazioni:	Peso proprio delle pareti [kNm]	Carico dei soletti [kNm]	Azione di archi o volte [kNm]	Azione dei tiranti [kNm]
	-	655.5	0.0	14.4	5590.7
	-	655.5	0.0	14.4	5003.2
	-	655.5	0.0	14.4	4067.9
	4	655.5	0.0	14.4	2197.3

MOMENTO DELLE AZIONI RIBALZANTI					
Ribaltoamento delle elevazioni:	Inerzia delle pareti [kNm <sup>2</sup> ]	Inerzia dei soletti [kNm <sup>2</sup> ]	Inerzia di archi o volte [kNm <sup>2</sup> ]	Spinta statica di archi o volte [kNm]	Spinta statica della copertura [kNm]
-	22095.8	135.6	333.2	378.1	0.0
-	19245.9	121.4	297.2	337.2	0.0
-	14708.8	98.7	239.8	272.1	0.0
4	5834.5	53.3	125.0	141.8	0.0

MULTIPLICATORE $\alpha_0$	Ribaltoamento delle elevazioni:	Valore di $\alpha_0$	Fattore di Conferenza $FC$	Massa partecipante $M^*$	Frazione massa partecipante $\epsilon^*$	Accelerazione spezzata $a_0^*$ [m/sec <sup>2</sup> ]
-		0.251		118.174	0.999	1.896
-		0.271	1.35	118.148	0.999	1.974
-		0.297		118.072	0.998	2.160
4		0.469		117.028	0.990	3.443

CALCOLO DELLE PGA PER LA VERIFICA DELLO STATO LIMITE DI SALVAGUARDIA DELLA VITA CIRCOLARE N. 617 DEL 02-02-2009 - ISTRUZIONI PER L'APPLICAZIONE DELLE NTC 14-01-2008						
PARAMETRI DI CALCOLO	CALCOLO DELLE PGA PER LA VERIFICA DELLO STATO LIMITE DI SALVAGUARDIA DELLA VITA CIRCOLARE N. 617 DEL 02-02-2009 - ISTRUZIONI PER L'APPLICAZIONE DELLE NTC 14-01-2008					
	Ribaltoamento delle elevazioni:	Baricentro delle linee di vincolo Z [m]	$\psi(Z) = Z/H$	$a_{g(SLV)}$ [CBA 4.9]	$S_x(T_x)$ [CBA 4.10]	
-		-	-	-	-	
-		-	-	-	-	
-		-	-	-	-	
4	14.44	0.810	0.312	8.461		

PGA-SLV	Ribaltoamento delle elevazioni:	$a_{g(SLV)}$ $\min(CDA 4.8; CBA 4.10)$	
-		-	
-		-	
-		-	
4		0.182	

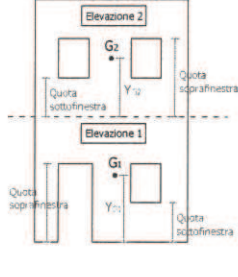


Fig. 1 - Esempio di rappresentazione schematica della parete ribaltante

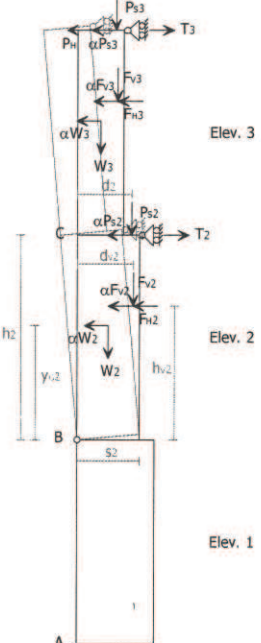


Fig. 2 - Schema di calcolo

## MECCANISMI DI RIBALTIMENTO SEMPLICE DI PARETE MONOLITICA

Elevazione	GEOMETRIA DELLA FACCIA (*)					Peso specifico della muratura $\gamma_i$ [kN/m <sup>3</sup> ]	Arretramento della cerniera attorno alla quale avviene il ribaltamento rispetto al bordo esterno della parete [m]
	Altezza delle fasce murarie	Quota del sottofinestra [m]	Quota del soprafinestra [m]	Larghezza della fascia sottofinestra al netto delle aperture [m]	Larghezza della fascia intermedia al netto delle aperture [m]	Larghezza della fascia soprafinestra al netto delle aperture [m]	
1	2.50			6.20		20.0	
2	1.20	1.70		5.85	4.73	20.0	
3	0.77	1.26		5.85	4.80	5.85	20.0
4	1.24	2.11		5.85	5.07	5.85	20.0

DATI INIZIALI	CARATTERIZZAZIONE GEOMETRICA DEI MACROELEMENTI							
	Elevazione	Spessore della parete al piano i-esimo $s_i$ [m]	Altezza di interpano al piano i-esimo $h_i$ [m]	Braccio orizzontale del carico del soletto al piano i-esimo rispetto alla cerniera cilindrica $d_i$ [m]	Braccio orizzontale dell'azione di archi o volte al piano i-esimo rispetto alla cerniera cilindrica $d_{i1}$ [m]	Quota del punto di applicazione di azioni trasmesse da archi o volte al piano i-esimo $h_{i1}$ [m]	Quota del bariocento della parete al piano i-esimo $y_{Gi}$ [m]	Quota del bariocento della parete al piano i-esimo (**) $y_{Gi}$ [m]
1		2.50					1.25	
2		3.98					2.00	
3		1.80	7.98		1.00	7.64	4.01	
4		1.20	9.35		1.00	8.67	4.71	

Elevazione	AZIONI SUI MACROELEMENTI					
	Peso proprio della parete al piano i-esimo $W_i$ [kN]	Peso proprio della parete al piano i-esimo (**) $W_i$ [kN]	Carico trasmesso dal soletto al piano i-esimo $P_{Si}$ [kN]	Spinta statica della copertura $P_H$ [kN]	Componente verticale della spinta di archi o volte al piano i-esimo $F_{Vi}$ [kN]	Componente orizzontale della spinta di archi o volte al piano i-esimo $F_{Hs}$ [kN]
1	0.0					
2	0.0					
3	1657.9				13.0	22.0
4	1296.5		5.7		14.4	16.4
						235.0

(\*) Nei casi in cui la parete (o la porzione di parete interessata dal ribaltamento) di geometria regolare risultasse priva di aperture è sufficiente specificarne l'altezza nella colonna "Quota del sottofinestra" e la larghezza nella colonna "Larghezza della fascia sottofinestra al netto delle aperture".  
 (\*\*) Da tenere solo in caso di geometrie irregolari dei macroelementi in facciata, non descrivibili attraverso i dati immessi nella sezione "Geometria della facciata".

DATI DI CALCOLO	MOMENTO DELLE AZIONI STABILIZZANTI				
	Ribalto della parete: elevazioni:	Peso proprio delle pareti [kNm]	Carico dei soletti [kNm]	Azione di archi o volte [kNm]	Azione dei tiranti [kNm]
-	2269.9	0.0	27.4	5590.7	
-	2269.9	0.0	27.4	5032.2	
4 - 3	2269.9	0.0	27.4	4087.9	
4	777.9	0.0	14.4	2197.3	

MOMENTO DELLE AZIONI RIBALZANTI					
Ribalto delle elevazioni:	Inerzia delle pareti [kNm]	Inerzia dei soletti [kNm]	Inerzia di archi o volte [kNm]	Spinta statica di archi o volte [kNm]	Spinta statica della copertura [kNm]
-	42226.6	135.8	510.7	888.6	0.0
-	34840.9	121.4	448.1	592.7	0.0
4 - 3	23082.7	98.7	330.0	440.1	0.0
4	5109.8	53.3	125.0	141.8	0.0

MOLTIPLICATORE $\alpha_0$	Ribalto delle elevazioni:	Valore di $\alpha_0$	Fattore di Confidenza $FC$	Massa partecipante $M^*$	Frazione massa partecipante $e^*$	Accelerazione spettrale $a_0^*$ [m/sec <sup>2</sup> ]
-		0.168		279.055	0.916	1.331
-		0.189	1.35	268.579	0.882	1.561
4 - 3		0.252		233.644	0.767	2.386
4		0.453		132.691	0.989	3.328

CALCOLO DELLE PGA PER LA VERIFICA DELLO STATO LIMITE DI SALVAGUARDIA DELLA VITA CIRCOLARE N. 617 DEL 02-02-2009 - ISTRUZIONI PER L'APPLICAZIONE DELLE NTC 14-01-2008						
PARAMETRI DI CALCOLO	CALCOLO DELLE PGA PER LA VERIFICA DELLO STATO LIMITE DI SALVAGUARDIA DELLA VITA CIRCOLARE N. 617 DEL 02-02-2009 - ISTRUZIONI PER L'APPLICAZIONE DELLE NTC 14-01-2008					
	Ribalto delle elevazioni:	Baricentro delle linee di vincolo $Z$ [m]	$\psi(Z) = Z/H$	$\alpha_{g(SLV)}$ [min(CBA.4.9; CBA.4.10)]	$S_4(T_1)$ [CBA.4.10]	
-						
-						
4 - 3	6.48	0.274	0.216	13.067		
4	14.44	0.610	0.302	8.181		

PGA-SLV	Ribalto delle elevazioni:	$\alpha_{g(SLV)}$ min(CBA.4.9; CBA.4.10)	CALCOLO DELLE PGA PER LA VERIFICA DELLO STATO LIMITE DI SALVAGUARDIA DELLA VITA CIRCOLARE N. 617 DEL 02-02-2009 - ISTRUZIONI PER L'APPLICAZIONE DELLE NTC 14-01-2008		
-					
-					
4 - 3		0.216			
4		0.176			

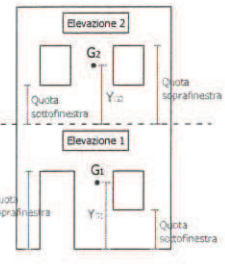


Fig. 1 - Esempio di rappresentazione schematica della parete ribaltante

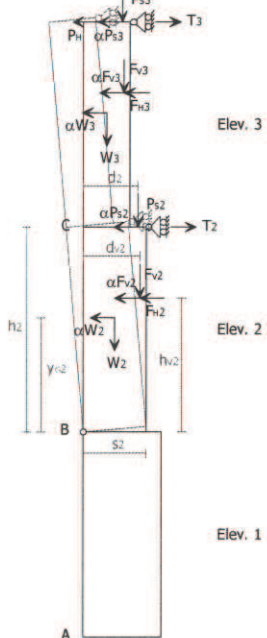


Fig. 2 - Schema di calcolo

## MECCANISMI DI RIBALTOAMENTO SEMPLICE DI PARETE MONOLITICA

Elevazione		GEOMETRIA DELLA FACCIA (*)					Peso specifico della muratura $\gamma_f$ [kN/m <sup>3</sup> ]	Arretramento della cerniera attorno alla quale avviene il ribaltamento rispetto al lembo esterno della parete [m]
		Altezza delle fasce murarie	Larghezza delle fasce murarie	Larghezza della fascia sottofinestra al netto delle aperture [m]	Larghezza della fascia intermedia al netto delle aperture [m]	Larghezza della fascia sopravfinestra al netto delle aperture [m]		
1	0.01	1.75	5.52	5.52	5.85	20.0		
2	0.10	1.42	5.52	5.52	5.85	20.0		
3	0.19	2.01	5.23	4.22	5.85	20.0		
4	0.33	2.22	5.85	5.21	5.85	20.0		

CARATTERIZZAZIONE GEOMETRICA DEI MACROELEMENTI								
Elevazione	Spessore della parete al piano i-esimo $s_i$ [m]	Altezza di interpiano al piano i-esimo $h_i$ [m]	Braccio orizzontale del carico del soletto al piano i-esimo rispetto alla cerniera cilindrica $d_i$ [m]	Braccio orizzontale dell'azione di archi o volte al piano i-esimo rispetto alla cerniera cilindrica $d_{Vi}$ [m]	Quota del punto di applicazione di azioni trasmesse da archi o volte al piano i-esimo $h_{Vi}$ [m]	Quota del baricentro della parete al piano i-esimo $y_{Gi}$ [m]	Quota del baricentro della parete al piano i-esimo (*) $y_{Gi}$ [m]	
1	2.50				1.27			
2	1.15	3.98		1.00	3.48	2.02		
3	1.15	7.96		1.00	7.64	4.19		
4	1.15	9.35		1.00	8.67	4.75		

AZIONI SUI MACROELEMENTI						
Elevazione	Peso proprio della parete al piano i-esimo $W_i$ [kN]	Peso proprio della parete al piano i-esimo (*) $W_i$ [kN]	Carico trasmesso dal soletto al piano i-esimo $P_{Si}$ [kN]	Spinta statica della copertura $P_H$ [kN]	Componente verticale della spinta di archi o volte al piano i-esimo $F_{Vi}$ [kN]	Componente orizzontale della spinta di archi o volte al piano i-esimo $F_{Ti}$ [kN]
1	9.0					
2	524.7				11.4	15.9
3	1000.1				13.0	21.2
4	1230.2		5.7		14.4	16.4
						235.0

(\*) Nei casi in cui la parete (o la porzione di parete interessata dal ribaltamento) di geometria regolare risultasse priva di aperture è sufficiente specificarne l'altezza nella colonna "Quota del sottofinestra" e la larghezza nella colonna "Larghezza della fascia sottofinestra al netto delle aperture".  
 (\*\*) Da riempire solo in caso di geometrie irregolari dei macroelementi in facciata, non descrivibili attraverso i dati immessi nella sezione "Geometria della facciata".

MOMENTO DELLE AZIONI STABILIZZANTI					
Ribaltoamento delle elevazioni:	Peso proprio delle pareti [kNm]	Carico dei solai [kNm]	Azione di archi o volte [kNm]	Azione dei tratti [kNm]	
-	1584.1	0.0	38.8	5590.7	
4 - 3 - 2	1584.1	0.0	38.8	5003.2	
4 - 3	1282.4	0.0	27.4	4087.9	
4	707.4	0.0	14.4	2197.3	

MOMENTO DELLE AZIONI RIBALZANTI					
Ribaltoamento delle elevazioni:	Inerzia delle pareti [kNm]	Inerzia del soletto [kNm]	Inerzia di archi o volte [kNm]	Spinta statica di archi o volte [kNm]	Spinta statica della copertura [kNm]
-	36648.0	135.6	584.8	772.5	0.0
4 - 3 - 2	29760.4	121.4	487.8	638.8	0.0
4 - 3	19825.8	98.7	339.0	434.0	0.0
4	5845.9	53.3	125.0	141.8	0.0

MOLTIPLICATORE $\alpha_0$	Ribaltoamento delle elevazioni:	Valore di $\alpha_0$	Fattore di Confidenza $FC$	Massa partecipante $M^*$	Frazione massa partecipante $\epsilon^*$	Accelerazione spettrale $a_0^*$ [m/sec <sup>2</sup> ]
	-	0.172		240.630	0.043	1.485
	4 - 3 - 2	0.197	1.35	222.682	0.780	1.336
	4 - 3	0.244		187.881	0.814	2.177
	4	0.461		125.995	0.989	3.389

CALCOLO DELLE PGA PER LA VERIFICA DELLO STATO LIMITE DI SALVAGUARDIA DELLA VITA CIRCOLARE N. 617 DEL 02-02-2008 - ISTRUZIONI PER L'APPLICAZIONE DELLE NTC 14-01-2008						
PARAMETRI DI CALCOLO	Fattore di struttura $q$					
	Coefficiente di amplificazione topografica $S_T$	2.00	Categoria suolo di fondazione	C	PGA di riferimento $a_g(P_{R0})$ [g]	0.119
	Fattore di amplificazione massima dello spettro $F_D$	2.518	Periodo di inizio del tratto a velocità costante dello spettro $T_{n*}$ [sec]	0.282		
	Fattore di ammorteamento $\eta$	1.000	Fattore di ammorteamento $\eta$	1.000		
	Altezza della struttura $H$ [m]	23.88	Altezza della struttura $H$ [m]	23.88		
	Coefficiente di amplificazione stratigrafica $S_S$	1.500	Coefficiente $C_C$	1.594		
	Fattore di amplificazione locale del suolo di fondazione $S$	2.250	Fattore di amplificazione locale del suolo di fondazione $S$	2.250		
	Numero di piani dell'edificio $N$	4	Numero di piani dell'edificio $N$	4		
	Coefficiente di partecipazione modale $\gamma$	1.333	Coefficiente di partecipazione modale $\gamma$	1.333		
	Primo periodo di vibrazione dell'intera struttura $T_1$ [sec]	0.538	Primo periodo di vibrazione dell'intera struttura $T_1$ [sec]	0.538		
Ribaltoamento delle elevazioni:	Baricentro delle linee di vincolo $Z$ [m]	$\psi(Z) = Z/H$	$a_g(SL)$ [CBA 4.9; CBA 4.10]	$S_g(T_1)$ [CBA 4.10]		
-						
4 - 3 - 2	2.50	0.106	0.166	26.063		
4 - 3	6.48	0.274	0.197	11.924		
4	14.44	0.610	0.307	8.329		
PGA-SLV	Ribaltoamento delle elevazioni:	$a_g(SL)$ [CBA 4.9; CBA 4.10]				
-						
4 - 3 - 2	0.166					
4 - 3	0.197					
4	0.179					

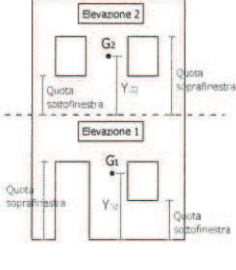


Fig. 1 - Esempio di rappresentazione schematica della parete ribaltante.

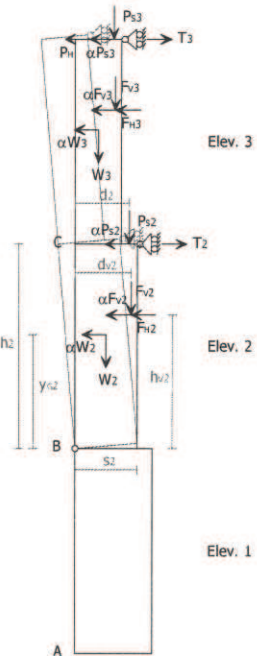


Fig. 2 - Schema di calcolo

## MECCANISMI DI RIBALTIMENTO SEMPLICE DI PARETE MONOLITICA

Elevazione	GEOMETRIA DELLA FACCIA (*)					Peso specifico della muratura $\gamma_1$ [kN/m <sup>3</sup> ]	Arretramento della cimiera attorno alla quale avviene il ribaltamento rispetto al lembo esterno della parete [m]		
	Altezza delle fasce murarie		Larghezza delle fasce murarie						
	Quota del sottofinestra [m]	Quota del soprafinestra [m]	Larghezza della fascia sottofinestra al netto delle aperture [m]	Larghezza della fascia intermedia al netto delle aperture [m]	Larghezza della fascia soprafinestra al netto delle aperture [m]				
1	2.50		6.50			20.0			
2	3.98		5.80			20.0			
3	0.70	1.47	5.85	4.99	5.85	20.0			
4	1.12	2.00	5.80	5.22	5.80	20.0			

DATI INIZIALI	CARATTERIZZAZIONE GEOMETRICA DEI MACROELEMENTI						
	Elevazione	Spessore della parete al piano i-esimo $s_i$ [m]	Altezza di interpenetrazione al piano i-esimo $h_i$ [m]	Braccio orizzontale del carico del solao al piano i-esimo rispetto alla cimiera cilindrica $d_i$ [m]	Braccio orizzontale dell'azione di archi o volte al piano i-esimo rispetto alla cimiera cilindrica $d_{Vi}$ [m]	Quota del punto di applicazione di azioni trasmesse da archi o volte al piano i-esimo $h_{Vi}$ [m]	Quota del baricentro della parete al piano i-esimo $Y_{Vi}$ [m]
							Quota del baricentro della parete al piano i-esimo (*) $Y_{Vi}$ [m]
1		2.50				1.25	
2	1.25	3.98		1.00	3.48	1.99	
3	1.20	7.96		1.00	7.64	4.02	
4	1.15	9.35		1.00	8.87	4.70	

Elevazione	AZIONI SUI MACROELEMENTI						
	Peso proprio della parete al piano i-esimo $W_i$ [kN]	Peso proprio della parete al piano i-esimo (**) $W_i$ [kN]	Carico trasmesso dal solao al piano i-esimo $P_{Si}$ [kN]	Spinta statica della copertura $P_{Vi}$ [kN]	Componente verticale della spinta di archi o volte al piano i-esimo $F_{Vi}$ [kN]	Componente orizzontale della spinta di archi o volte al piano i-esimo $F_{HVi}$ [kN]	Azione del tirante al piano i-esimo $T_i$ [kN]
1	0.0						
2	577.1						
3	1101.7						
4	1235.6		5.7				

(\*) Nei casi in cui la parete (o la porzione di parete interessata dal ribaltamento) di geometria regolare risultasse priva di aperture è sufficiente specificare l'altezza nella colonna "Quota del sottofinestra" e la larghezza nella colonna "Larghezza della fascia sottofinestra al netto delle aperture".

(\*\*) Da riempire solo in caso di geometrie irregolari dei macroelementi in facciata, non descrivibili attraverso i dati immessi nella sezione "Geometria della facciata".

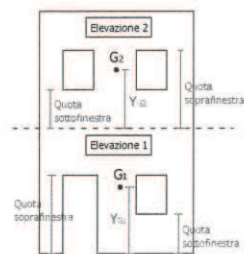


Fig. 1 - Esempio di rappresentazione schematica della parete ribaltante

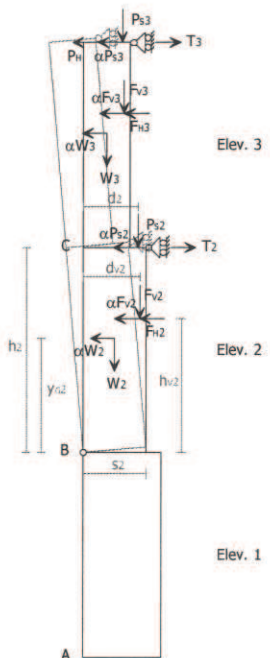


Fig. 2 - Schema di calcolo

Elevazione	MOMENTO DELLE AZIONI STABILIZZANTI					Ribaltamento delle elevazioni:
	Peso proprio delle pareti [kNm]	Carico dei solai [kNm]	Azione di archi o volte [kNm]	Azione dei tiranti [kNm]		
	-	1732.1	0.0	38.8	5590.7	
4 - 3 - 2	1732.1	0.0	38.8	5003.2		
4 - 3	1371.5	0.0	27.4	4067.9		
4	710.4	0.0	14.4	2197.3		

Elevazione	MOMENTO DELLE AZIONI RIBALTANTI					Ribaltamento delle elevazioni:
	Inerzia delle pareti [kNm]	Inerzia dei solai [kNm]	Inerzia di archi o volte [kNm]	Spinta statica di archi o volte [kNm]	Spinta statica della copertura [kNm]	
	-	37815.0	135.6	564.8	757.1	0.0
4 - 3 - 2	30529.1	121.4	487.8	629.9	0.0	
4 - 3	20078.5	98.7	339.0	434.0	0.0	
4	5812.8	53.3	125.0	141.8	0.0	

MULTIPLICATORE $\alpha_0$	Ribaltamento delle elevazioni:	Valore di $\alpha_0$	Fattore di Confindustria $FC$	Massa partecipante $M^*$	Frazione massa partecipante $\alpha^*$	Accelerazione spezzata $a_0^*$ [m/sec <sup>2</sup> ]
		-	0.171	1.35	0.837	1.489
		4 - 3 - 2	0.197		0.770	1.863
	4 - 3	0.245		192.886	0.798	2.233
	4	0.484		126.476	0.988	3.413

PARAMETRI DI CALCOLO	Ribaltamento delle elevazioni:	CALCOLO DELLE PGA PER LA VERIFICA DELLO STATO LIMITE DI SALVAGUARDIA DELLA VITA CIRCOLARE N. 617 DEL 02-02-2009 - ISTRUZIONI PER L'APPLICAZIONE DELLE NTC 14-01-2008				
		Fattore di struttura q	Coefficiente di amplificazione topografica $S_T$	Categoria suolo di fondazione	PGA di riferimento $a_g(P_{vn})$ [g]	Periodo di inizio del tratto a velocità costante dello spettro $T_{c1}$ [sec]
		2.00	1.50	C	0.119	0.282
	-					
	4 - 3 - 2					
	4 - 3					
	4					

PARAMETRI DI CALCOLO	Ribaltamento delle elevazioni:	CALCOLO DELLE PGA PER LA VERIFICA DELLO STATO LIMITE DI SALVAGUARDIA DELLA VITA CIRCOLARE N. 617 DEL 02-02-2009 - ISTRUZIONI PER L'APPLICAZIONE DELLE NTC 14-01-2008				
		$\psi(Z) = Z/H$	$a_g(SL)$ [C6A.4.9]	$S_g(T_1)$ [C6A.4.10]	$S_g(T_2)$ [C6A.4.10]	$S_g(T_3)$ [C6A.4.10]
	-					
	4 - 3 - 2	0.108	0.169	28.445		
	4 - 3	0.274	0.202	12.230		
	4	0.610	0.309	8.388		

PARAMETRI DI CALCOLO	Ribaltamento delle elevazioni:	CALCOLO DELLE PGA PER LA VERIFICA DELLO STATO LIMITE DI SALVAGUARDIA DELLA VITA CIRCOLARE N. 617 DEL 02-02-2009 - ISTRUZIONI PER L'APPLICAZIONE DELLE NTC 14-01-2008				
		$a_g(SL)$ [C6A.4.9; C6A.4.10]	$\psi(Z) = Z/H$	$a_g(SL)$ [C6A.4.9]	$S_g(T_1)$ [C6A.4.10]	$S_g(T_2)$ [C6A.4.10]
	-					
	4 - 3 - 2	0.189				
	4 - 3	0.202				
	4	0.180				

**IL BORGO MURATO APS**

**Via del Pretorio, n. 1 – 56010 Vicopisano**

**LAVORI DI RESTAURO DELLE MURA DI VICOPISANO – 1° STRALCIO**

**Consolidamento statico dei beccatelli e delle mura della Torre del Soccorso e  
dei beccatelli del camminamento ad essa collegato.**

Impresa C.I.P.E.A. Soc. Coop.

**RELAZIONE SUI LAVORI ESEGUITI**

Il sottoscritto Prof. Ing. Raffaello Bartelletti, Direttore dei lavori delle opere strutturali, a seguito della avvenuta ultimazione delle opere di consolidamento in titolo, riferisce quanto segue in merito al loro svolgimento.

I lavori, eseguiti interamente dall'impresa Arkedil S.r.l, hanno avuto inizio in data 10.12.2007 e sono stati ultimati in data 31.05.2011; essi sono di fatto identificabili in tre diverse tipologie eseguite in tempi successivi e non sovrapposti fra di loro:

1. messa in opera di nuove catene in parallelo a quelle ammalorate della Torre del Soccorso;
2. consolidamento dei beccatelli della Torre del Soccorso;
3. ricostruzione del parapetto merlato della Torre del Soccorso;
4. consolidamento dei beccatelli del camminamento che collega la Torre del Soccorso alla Rocca.

**1.** Le nuove catene in sommità della Torre sono state realizzate mediante l'inserimento di barre Diwydag del diametro di 26 mm in perforazioni passanti del diametro di 40 mm; successivamente all'inserimento delle barre le catene sono state completate con il montaggio dei due capi chiave in acciaio inox a contrasto con la muratura, dopodiché si è proceduto alla messa in tensione delle barre, con un tiro di 12,0 t, e alla successiva iniezione dei fori con malta di cemento additivata con fluidificante non aggressivo per l'acciaio, fino a completo riempimento dei fori. Le catene esistenti sono in parte state rimosse, dove possibile, ed in parte lasciate nella loro sede originale (Foto 1).

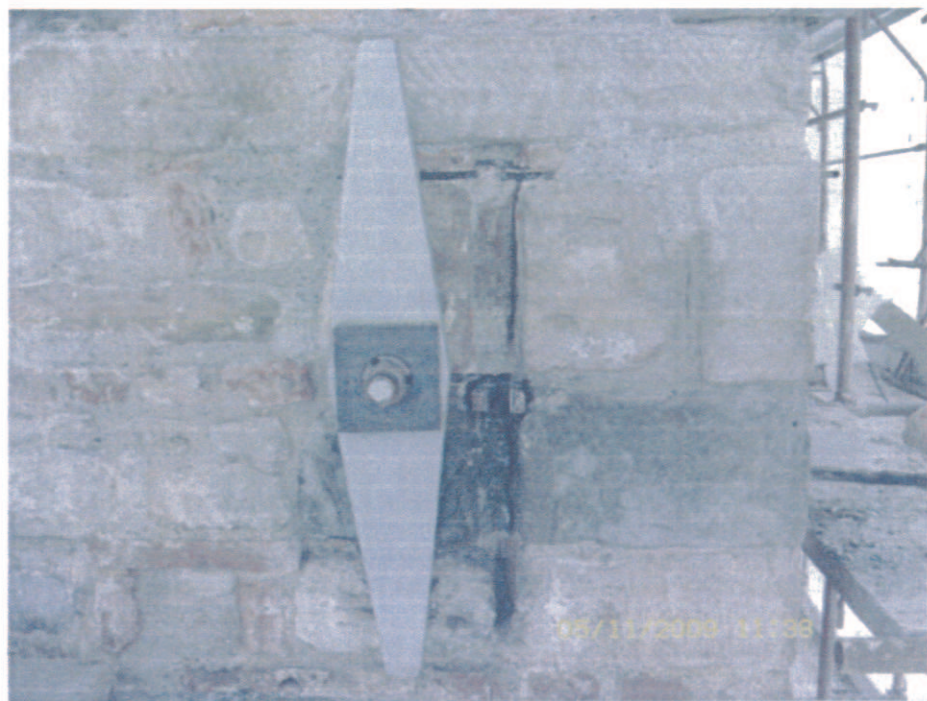


Foto 1 - Nuova catena Diwydag con capochiave in acciaio inox in sommità della Torre del Soccorso

2. L' intervento di consolidamento statico dei beccatelli della Torre del Soccorso si è sviluppato sostanzialmente in due fasi. La prima fase delle operazioni ha riguardato il montaggio di una struttura metallica a carattere provvisorio realizzata lungo tutto il perimetro della torre circa 2,0 m al di sotto dei beccatelli su cui, previa realizzazione di una centina in legno per ognuno degli archetti esistenti, sono stati successivamente puntellati i beccatelli stessi al fine di sostenerli durante le successive lavorazioni. Il vero e proprio intervento di consolidamento, seconda fase, ha riguardato le mensole dei beccatelli, in pietra arenaria, ed è consistito nella realizzazione di perforazioni di diametro 26 mm e profondità variabile, una per ogni elemento lapideo costituente le mensole, tranne che per quello posto più in basso; le perforazioni sono state armate con barre ad aderenza migliorata in acciaio inox e inghiseate con malta di cemento additivata con fluidificante specifico (Foto 2).



Foto 2 - Perforazioni armate con barre inox nelle mensole dei beccatelli della Torre del Soccorso

3. La ricostruzione del parapetto e dei merli in sommità della Torre del Soccorso è stata eseguita con mattoni pieni di recupero e, anche allo scopo di conseguire una maggiore efficienza nei confronti delle azioni sismiche, i merli sono stati rinforzati con perforazioni armate verticali (Foto 3).



Foto 3 - Perforazioni armate dei merli della Torre di Soccorso

4. Il consolidamento dei beccatelli e relativi archetti del camminamento è stato eseguito mediante l'inserimento in fori di diametro 150 mm, realizzati con carotatrice, alle imposte di ogni archetto, di un profilo metallico HEA100 in acciaio inox, di caratteristiche meccaniche equivalenti all'acciaio al carbonio S275JR; i fori sono stati poi sigillati con malta cementizia a ritiro compensato, avendo avuto cura di proteggere preventivamente la muratura esistente da eventuali percolazioni di detta malta mediante iniezioni di malta idraulica.

Al fine di garantire un sufficiente grado di sicurezza al ribaltamento, le mensole metalliche suddette sono state ancorate alla muratura tramite ancoraggi "a mollone", realizzati con barre in acciaio inox ad aderenza migliorata, diametro 12 mm, inseriti in fori di diametro 25 mm realizzati dall'alto sul piano del camminamento e successivamente riempiti con la stessa malta utilizzata per l'inghissaggio dei profilati, previa iniezione di malta idraulica.. Ognuno degli elementi lapidei che costituiscono le mensole dei beccatelli del camminamento è stato poi cucito alla muratura con barre inox ad aderenza migliorata, diametro 12 mm, inserite in fori sub orizzontali di diametro 25 mm profondi 150 cm, iniettati anch'essi con malta a ritiro compensato a base cementizia, previa iniezione con malta idraulica (Foto 4, 5 e 6).

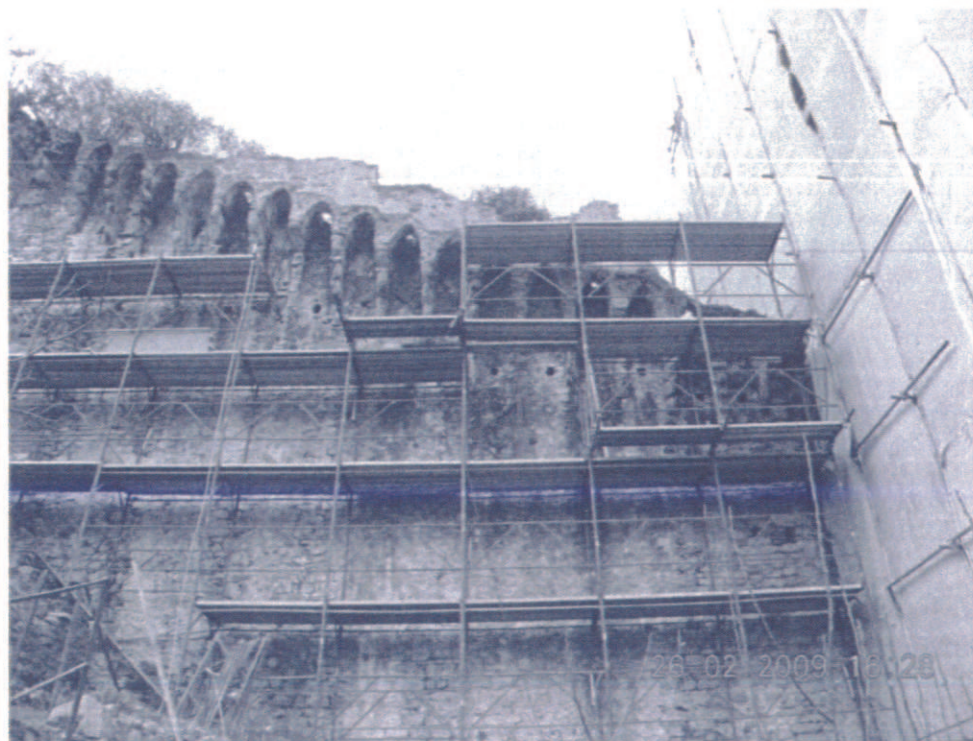


Foto 4 - Beccatelli del camminamento in corso di restauro.

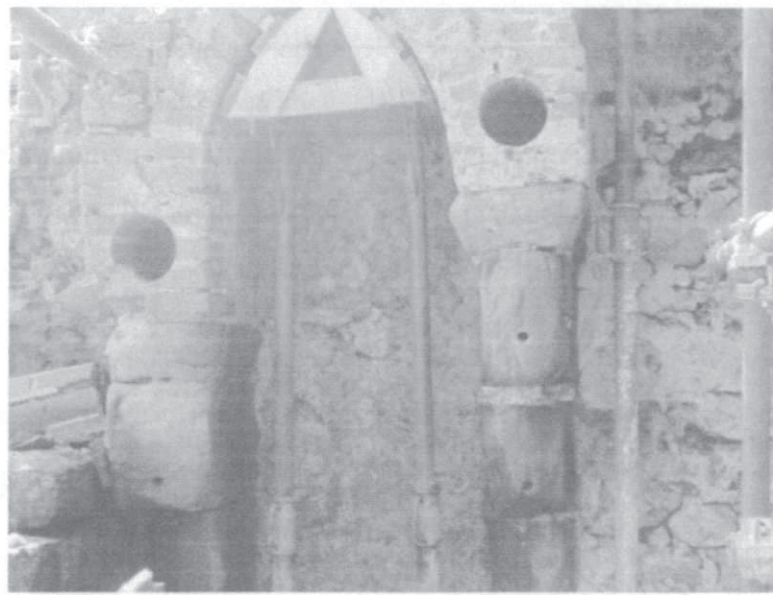


Foto 5 - Beccatelli del camminamento: fori per la cucitura delle mensole e carotaggi per l'inserimento dei profilati HEA inox



Foto 6 - Un archetto restaurato del camminamento

Pisa, 20 Giugno 2011

(Prof. Ing. Raffaello Bartelletti)

5

*Raffaello Bartelletti*

